

ОПИСАНИЕ ТИПА СРЕДСТВА ИЗМЕРЕНИЙ

Устройства измерительные многофункциональные МИР КПР-01М

Назначение средства измерений

Устройства измерительные многофункциональные МИР КПР-01М (далее – устройства) предназначены для измерений и анализа параметров электрической сети (напряжения и силы переменного тока, частоты, электрической мощности), определения качества и учета количества электроэнергии, для определения состояния электрооборудования энергообъекта, регистрации процессов в сети, включая осциллографирование.

Описание средства измерений

Принцип действия устройств основан на аналого-цифровом преобразовании мгновенных значений входных сигналов силы и напряжения переменного тока, математической обработке и вычислении параметров электрической сети переменного тока, фиксации состояния входных каналов телесигнализации (далее по тексту – ТС) по измеренному сопротивлению каналов, управлении состоянием выходных каналов телеуправления (далее по тексту – ТУ) и обмене данными по интерфейсам.

Устройства являются высокотехнологичными электронными устройствами, работающими под управлением встроенного микроконтроллера.

Устройства обеспечивают измерение и расчет показателей качества электрической энергии (далее по тексту – ПКЭ) по методам, приведенным в ГОСТ 30804.4.30-2013 с классом характеристик процесса измерений А, а также статистическую оценку результатов измерений ПКЭ на соответствие ГОСТ 32144-2013.

Устройства обеспечивают многотарифный учет активной энергии прямого и обратного направлений с классом точности 0,2S или 0,5S по ГОСТ 31819.22-2012, или 1 по ГОСТ 31819.21-2012 (в зависимости от модификации).

Устройства обеспечивают многотарифный учет реактивной энергии прямого и обратного направлений с классом точности 0,5 или 1 (в зависимости от модификации) по ГОСТ 31819.23-2012.

Устройства имеют модификации, отличающиеся конструктивным исполнением, номинальным и максимальным током, номинальным напряжением, количеством интерфейсов, количеством и типами каналов ТС, количеством каналов ТУ и типом электропитания. Структура кода с расшифровкой обозначений приведена в таблице 1.

При описании устройств, для обозначения различных модификаций в соответствии со структурой кода в дальнейшем используются следующие символы:

- КПР-01М-5(10), модификации с конструктивным исполнением корпуса размерами 96 x 96 x 140 мм с максимальным током 10 А (рисунок 1);
- КПР-01М-5(150), модификации с конструктивным исполнением корпуса размерами 96 x 96 x 140 мм с максимальным током 150 А (рисунок 1);
- КПР-01М-А, модификации с конструктивным исполнением корпуса размерами 90 x 75 x 105 мм (рисунок 2);
- КПР-01М-Б, модификации с конструктивным исполнением корпуса размерами 280 x 175 x 79 мм (рисунок 3);
- КПР-01М-Р модификации с конструктивным исполнением корпуса размерами 90 x 75 x 105 мм и внешними датчиками тока (рисунок 4).

Таблица 1 – Структура кода

Символы в коде	Варианты и расшифровка символов
<u>МИР КПР-01М-А-$I_{ном}(I_{макс})$-$U_{ном}$ИП-xm-$xTCu$-$xTUs$-РПи-f</u>	Тип устройства
	Конструктивное исполнение
	нет символов – корпус размерами 96×96×140 мм
	А – корпус размерами 90×75×105 мм
	Б – корпус размерами 280×175×79 мм
	Р – корпус размерами 90×75×105 мм с внешними датчиками тока
<u>МИР КПР-01М-А-$I_{ном}(I_{макс})$-$U_{ном}$ИП-xm-$xTCu$-$xTUs$-РПи-f</u>	Номинальный (максимальный) ток
	нет символов – нет токовых цепей
	1(10) – номинальный ток 1 А, максимальный – 10 А
	5(10) – номинальный ток от 1 до 5 А, максимальный – 10 А
	5(50) – номинальный ток 5 А, максимальный – 50 А
	5(150) – номинальный ток 5 А, максимальный – 150 А
	250(1500) – номинальный ток 250 А, максимальный – 1500 А
	500(2500) – номинальный ток 500 А, максимальный – 2500 А
<u>МИР КПР-01М-А-$I_{ном}(I_{макс})$-$U_{ном}$ИП-xm-$xTCu$-$xTUs$-РПи-f</u>	Номинальное напряжение
	нет символов – нет цепей напряжения
	57 – номинальное напряжение 57,7 В
	230 – номинальное напряжение от 230 В
<u>МИР КПР-01М-А-$I_{ном}(I_{макс})$-$U_{ном}$ИП-xm-$xTCu$-$xTUs$-РПи-f</u>	Возможность питания от измерительных цепей
	нет символов – питание от отдельной цепи
	ИП – основное питание от измерительных цепей
	РП – резервное питание от измерительных цепей
<u>МИР КПР-01М-А-$I_{ном}(I_{макс})$-$U_{ном}$ИП-xm-$xTCu$-$xTUs$-РПи-f</u>	Количество и тип интерфейсов
	$xm^{1)} 2)^3)$ – x портов интерфейса m
<u>МИР КПР-01М-А-$I_{ном}(I_{макс})$-$U_{ном}$ИП-xm-$xTCu$-$xTUs$-РПи-f</u>	Количество каналов и модификация ТС
	нет символов - нет каналов ТС
	$xTCu$ – x каналов ТС модификации u
<u>МИР КПР-01М-А-$I_{ном}(I_{макс})$-$U_{ном}$ИП-xm-$xTCu$-$xTUs$-РПи-f</u>	Количество каналов ТУ
	нет символов – нет каналов ТУ
	$xTUs$ – x каналов ТУ модификации s
<u>МИР КПР-01М-А-$I_{ном}(I_{макс})$-$U_{ном}$ИП-xm-$xTCu$-$xTUs$-РПи-f</u>	Наличие и напряжение цепи питания
	нет символов – питание только от измерительных цепей
	ИПи – основное питание от цепи номинальным напряжением i
	РПи – резервное питание от цепи номинальным напряжением i
<u>МИР КПР-01М-А-$I_{ном}(I_{макс})$-$U_{ном}$ИП-xm-$xTCu$-$xTUs$-РПи-f</u>	Наличие/отсутствие дополнительных функций
	Возможные варианты и расшифровка дополнительных функций приведены в эксплуатационной документации.
Примечания	
1) здесь и далее, строчными курсивными буквами обозначены переменные символы. Значения, которые может принимать переменный символ, указаны в эксплуатационной документации;	
2) здесь и далее под x понимается количество цепей данного типа;	
3) под m понимается тип интерфейса. Возможные типы интерфейсов приведены в эксплуатационной документации.	

Общий вид устройств представлен на рисунках 1 – 4.

Схема опломбировки от несанкционированного доступа представлена на рисунках 5-7.



Рисунок 1 – Общий вид модификаций КПР-01М-5(10) и КПР-01М-5(150)



Рисунок 2 – Общий вид модификации КПР-01М-А

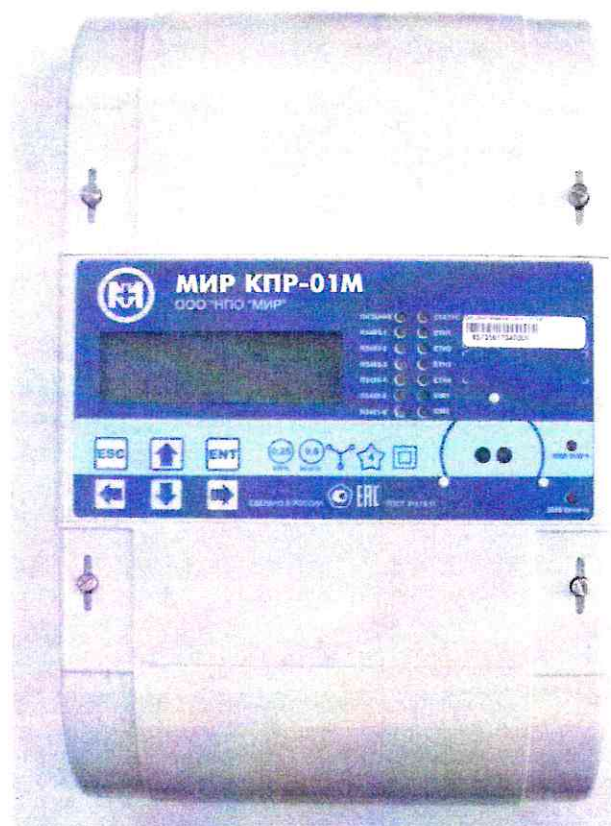


Рисунок 3 – Общий вид модификации КПР-01М-Б

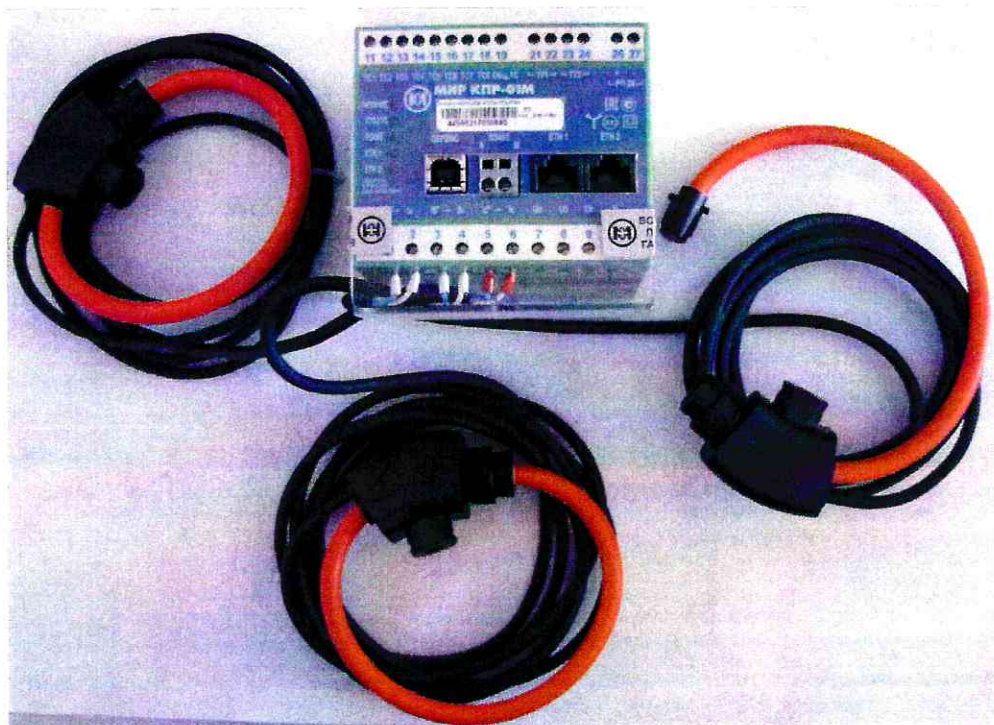


Рисунок 4 – Общий вид модификации КПР-01М-Р

Для защиты от несанкционированного доступа предусмотрена установка пломб завода-изготовителя и организации, проводящей поверку.



Рисунок 5 - Схема опломбировки от несанкционированного доступа модификаций КПР-01М-5(10) и КПР-01М-5(150)



Рисунок 6 - Схема опломбировки от несанкционированного доступа модификаций КПР-01М-А и КПР-01М-Р

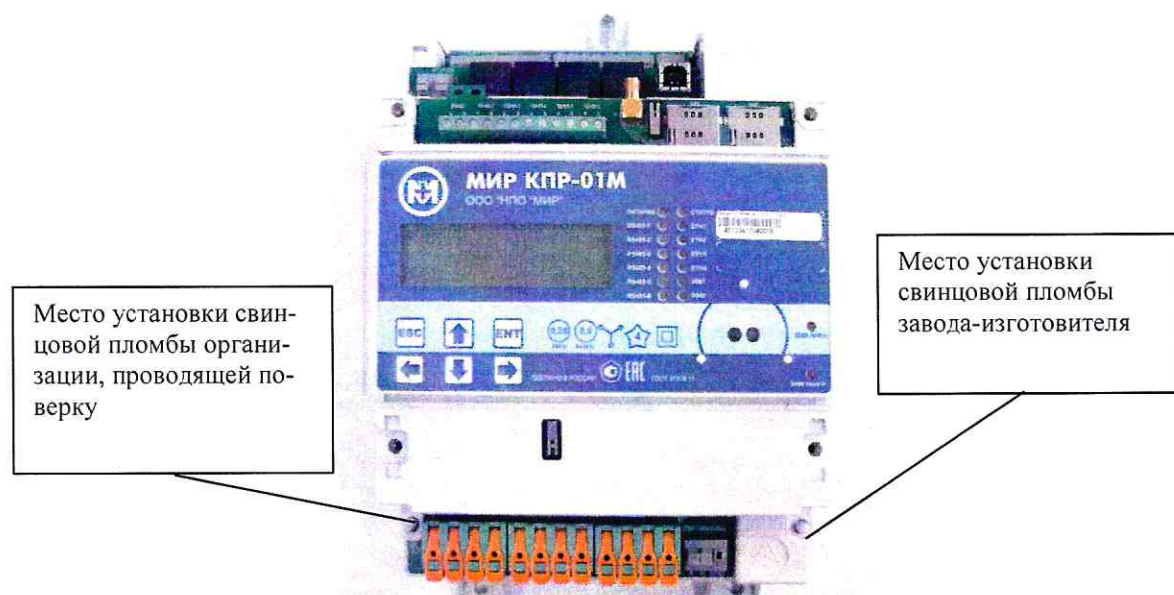


Рисунок 7 – Схема опломбировки от несанкционированного доступа модификации КПР-01М-Б

Программное обеспечение

Программное обеспечение (далее - ПО) устройств является встроенным и реализовано в управляющем микроконтроллере. ПО выполняет функции измерения и расчета параметров переменного электрического тока, обработки каналов дискретного ввода и вывода, обработки, хранения, архивирования и передачи информации, индикации состояния и режимов работы, ведения и синхронизации времени, конфигурирования, диагностики и самодиагностики, информационной безопасности и защиты от несанкционированного доступа.

ПО разделено на метрологически значимую и метрологически незначимую (прикладную) части, которые объединены в единый файл, имеющий единую контрольную сумму.

ПО может быть проверено, установлено или переустановлено только на заводе-изготовителе с использованием специальных программно-технических устройств. ПО не может быть считано из устройств без применения специальных программно-технических устройств.

Идентификационные данные ПО устройств приведены в таблицах 2 – 4.

Версия программного обеспечения устройств должна быть не ниже версии, указанной в таблицах 2–4 и должна быть указана в формуляре каждого устройства.

Конструкция устройств исключает возможность несанкционированного влияния на ПО. Уровень защиты ПО от непреднамеренных и преднамеренных изменений по Р 50.2.077 – высокий.

Таблица 2– Характеристики ПО модификаций КПР-01М-5(10) и КПР-01М-5(150)

Идентификационные данные (признаки)	Значение
Идентификационное наименование ПО	Kpr-01m(v.2.1.X.Y).tgz
Номер версии (идентификационный номер) ПО	2.1.X.Y ¹⁾
Цифровой идентификатор ПО	605E3B63FF3A4B1997398863CFBAF7B8 ²⁾
Другие идентификационные данные, если имеются	отсутствуют
Примечания	
¹⁾ версия метрологически значимой части ПО 2.1, специальными символами X.Y заменены элементы, отвечающие за метрологически незначимую (прикладную) часть ПО;	
²⁾ цифровой идентификатор рассчитан по алгоритму md5 для версии ПО 2.1.30355.170905.	

Таблица 3– Характеристики ПО модификаций КПР-01М-А, КПР-01М-Р

Идентификационные данные (признаки)	Значение
Идентификационное наименование ПО	kpr-01ma(v.1.2.X.Y).bin
Номер версии (идентификационный номер) ПО	1.2.X.Y ¹⁾
Цифровой идентификатор ПО	AE4A9CFFD8AEA396B3C49FDA25C4B7E7 ²⁾
Другие идентификационные данные, если имеются	отсутствуют
Примечания	
¹⁾ версия метрологически значимой части ПО 1.1, специальными символами X.Y заменены элементы, отвечающие за метрологически незначимую (прикладную) часть ПО	
²⁾ цифровой идентификатор рассчитан по алгоритму md5 для версии ПО 1.2.0.75	

Таблица 4 – Характеристики ПО модификаций КПР-01М-Б

Идентификационные данные (признаки)	Значение
Идентификационное наименование ПО	kpr-01mb(v1.1.X.Y).tgz
Номер версии (идентификационный номер) ПО	1.1.X.Y ¹⁾
Цифровой идентификатор ПО	80D9EAB777FA1C48639A567F60F11EE8 ²⁾

Окончание таблицы 4

Идентификационные данные (признаки)	Значение
Другие идентификационные данные, если имеются	отсутствуют
Примечания	
1) версия метрологически значимой части ПО 1.1, специальными символами X.Y заменены элементы, отвечающие за метрологически незначимую (прикладную) часть ПО	
2) цифровой идентификатор рассчитан по алгоритму md5 для версии ПО 1.1. 30090.170825	

Метрологические и технические характеристики

При указании метрологических и технических характеристик для обозначения вида погрешностей используются символы: Δ -абсолютная, δ -относительная, γ -приведенная погрешности измерений, соответственно.

Метрологические характеристики нормированы с учетом влияния программного обеспечения.

Метрологические и технические характеристики устройств модификаций КПР-01М-5(10) представлены в таблицах 5-13, устройств модификаций КПР-01М-5(150) в таблицах 14-22, устройств модификаций КПР-01М-А в таблицах 23-31, устройств модификаций КПР-01М-Б в таблицах 32-40, устройств модификаций КПР-01М-Р в таблицах 41-49.

Таблица 5 – Общие метрологические и технические характеристики модификации КПР-01М-5(10)

Наименование характеристики	Значение
Номинальное фазное напряжение переменного тока U_{nom} , В	от 57 до 230*
Максимальное значение напряжения переменного тока, U_{max} В	300
Номинальный ток, I_{nom} , А	1-5 ¹⁾
Максимальное значение силы переменного тока при измерении среднеквадратического значения силы переменного тока, А	10
Максимальное значение силы переменного тока при измерении электрической энергии, А	10
Класс точности при измерении активной электрической энергии	0,2S
Класс точности при измерении реактивной электрической энергии	0,5
Время начального запуска до начала учета электроэнергии, с	5
Постоянная перевода импульсов в электрическую энергию, имп/кВт·ч (имп/квар·ч)	5000 (5000)
Габаритные размеры (длина×высота×ширина), мм, не более	96×96×155
Масса, кг, не более	0,9
Средняя наработка на отказ с учетом технического обслуживания, ч	100 000
Среднее время восстановления работоспособности, ч	1
Средний срок службы, лет	30
Нормальные условия измерений: - температура окружающей среды, °C - относительная влажность воздуха, %	от 15 до +25 от 30 до 80
Рабочие условия измерений: - температура окружающей среды, °C - относительная влажность (при +35 °C и ниже, без конденсации влаги), %, не более	от -40 до +55 95
Примечание - * - Выбирается программно при конфигурировании	

Таблица 6 – Основные метрологические характеристики модификации КПР-01М-5(10)

Наименование характеристики	Диапазон измерений	Пределы допускаемой погрешности	Примечание
1 Частота основной гармоники напряжения переменного тока f , Гц	от 42,5 до 57,5	$\pm 0,01$ Гц (Δ)	-
2 Среднеквадратическое значение фазного напряжения переменного тока, U_A , U_B , U_C , В	от 10 до 40	$\pm 0,5\%$ (δ)	Класс точности 0,2
	от 40 до U_{\max}	$\pm 0,2\%$ (δ)	
3 Среднеквадратическое значение междуфазного напряжения переменного тока, U_{AB} , U_{BC} , U_{CA} , В	от 17,3 до $69,2 \cdot U_{\text{ном}}$	$\pm 0,5\%$ (δ)	Класс точности 0,2
	от 69,2 до 519	$\pm 0,2\%$ (δ)	
4 Среднеквадратическое значение напряжения переменного тока основной частоты $U_{A(1)}$, $U_{B(1)}$, $U_{C(1)}$, прямой, обратной и нулевой последовательности U_1 , U_2 , U_0 , В	от 23 до U_{\max}	$\pm 0,1\%$ (γ) ¹⁾	-
5 Среднеквадратическое значение n-й гармонической составляющей фазного напряжения переменного тока $U_{A(n)}$, $U_{B(n)}$, $U_{C(n)}$, В ²⁾	$0 \leq U_{(n)} < 0,01 \cdot U_{\text{ном}}$	$\pm 0,0005 \cdot U_{\text{ном}}$ В (Δ)	$0,1 \cdot U_{\text{ном}} < U_{(1)} < U_{\max}$ для n от 2 до 50
	$0,01 \cdot U_{\text{ном}} \leq U_{(n)} < 0,5 \cdot U_{\text{ном}}$	$\pm 5,0\%$ (δ)	
6 Среднеквадратическое значение m-й интергармонической составляющей фазного напряжения переменного тока $U_{A\text{isg}(m)}$, $U_{B\text{isg}(m)}$, $U_{C\text{isg}(m)}$, В ²⁾	$0 \leq U_{\text{isg}(m)} < 0,01 \cdot U_{\text{ном}}$	$\pm 0,0005 \cdot U_{\text{ном}}$ В (Δ)	$0,1 \cdot U_{\text{ном}} < U_{(1)} < U_{\max}$ для m от 0 до 49
	$0,01 \cdot U_{\text{ном}} \leq U_{\text{isg}(m)} < 0,5 \cdot U_{\text{ном}}$	$\pm 5,0\%$ (δ)	
7 Среднеквадратическое значение фазной силы переменного тока (с учетом гармоник) I_A , I_B , I_C , среднеквадратическое значение фазной силы переменного тока основной частоты $I_{A(1)}$, $I_{B(1)}$, $I_{C(1)}$, среднеквадратическое значение силы переменного тока прямой, обратной и нулевой последовательности I_1 , I_2 , I_0 , А	$0,01 \cdot I_{\text{ном}} \leq I < 0,5 \cdot I_{\text{ном}}$	$\pm [0,2 + 0,2 \left(\frac{0,5 I_{\text{ном}}}{I} - 1 \right)]\%$ (δ)	-
	$0,5 \cdot I_{\text{ном}} \leq I < I_{\max}$	$\pm 0,2\%$ (δ)	Класс точности 0,2
8 Коэффициент несимметрии тока по нулевой и обратной последовательности, K_{0l} , K_{2l} , %	от 0 до 50	$\pm 0,15\%$ (Δ)	$0,1 \cdot I_{\text{ном}} < I < I_{\max}$

Продолжение таблицы 6

Наименование характеристики	Диапазон измерений	Пределы допускаемой погрешности	Примечание
9 Среднеквадратическое значение n-й гармонической составляющей фазной силы переменного тока $I_{A(n)}$, $I_{B(n)}$, $I_{C(n)}$, А ³⁾	$0 < I_{(n)} < 0,03 \cdot I_{\text{ном}}$	$\pm 0,0015 \cdot I_{\text{ном}}$ А (Δ)	для n от 2 до 50, $0,1 \cdot I_{\text{ном}} < I_{(1)} < I_{\text{макс}}$
	$0,03 \leq I_{(n)} < I_{\text{ном}}$	$\pm 5,0 \%$ (δ)	
10 Коэффициент n-й гармонической составляющей фазной силы переменного тока $K_{IA(n)}$, $K_{IB(n)}$, $K_{IC(n)}$, %	$0 \leq K_{I(n)} < 3$	$\pm 0,15 \%$ (Δ)	для n от 2 до 50, $0,1 \cdot I_{\text{ном}} < I_{(1)} < I_{\text{макс}}$
	$3 \leq K_{I(n)} < 50$	$\pm 5,0 \%$ (δ)	
11 Коэффициент искажения синусоидальности кривой тока K_{IA} , K_{IB} , K_{IC} , %	$0 \leq K_I < 3$	$\pm 0,15 \%$ (Δ)	-
	$3 \leq K_I < 60$	$\pm 5 \%$ (δ)	
12 Угол фазового сдвига между фазными напряжениями основной частоты $\varphi_{UAB(1)}$, $\varphi_{UBC(1)}$, $\varphi_{UCA(1)}$, °	от -180 до +180	$\pm 0,2^\circ$ (Δ)	$0,1 \cdot U_{\text{ном}} < U_{(1)} < U_{\text{макс}}$
13 Угол фазового сдвига между фазными токами основной частоты $\varphi_{IAB(1)}$, $\varphi_{IBC(1)}$, $\varphi_{ICA(1)}$, °	от -180 до +180	$\pm 0,5^\circ$ (Δ)	$0,1 \cdot I_{\text{ном}} < I < I_{\text{макс}}$
14 Угол фазового сдвига между фазным напряжением и фазным током основной частоты $\varphi_{UIA(1)}$, $\varphi_{UIB(1)}$, $\varphi_{UIC(1)}$, между напряжением и током прямой, нулевой и обратной последовательности, φ_{U111} , φ_{U010} , φ_{U212} , °	от -180 до +180	$\pm 5^\circ$ (Δ)	$0,1 \cdot I_{\text{ном}} < I < I_{\text{ном}}$ $0,1 \cdot U_{\text{ном}} < U_{(1)} < U_{\text{макс}}$
		$\pm 0,5^\circ$ (Δ)	$I_{\text{ном}} < I_{(1)} < I_{\text{макс}}$ $0,1 U_{\text{ном}} < U_{(1)} < U_{\text{макс}}$
15 Угол фазового сдвига между напряжением и током n-й гармонической составляющей $\varphi_{UIA(n)}$, $\varphi_{UIB(n)}$, $\varphi_{UIC(n)}$, °	от -180 до +180	$\pm 5^\circ$ (Δ)	$0,5 \cdot I_{\text{ном}} < I < I_{\text{максэн}}$, $K_{I(n)} \geq 5 \%$, $K_{U(n)} \geq 5 \%$
		$\pm 10^\circ$ (Δ)	$0,5 \cdot I_{\text{ном}} < I < I_{\text{максэн}}$, $1 \% \leq K_{I(n)} < 5 \%$, $1 \% \leq K_{U(n)} < 5 \%$
		$\pm 10^\circ$ (Δ)	$0,1 \cdot I_{\text{ном}} < I \leq 0,5 \cdot I_{\text{ном}}$, $K_{I(n)} \geq 5 \%$, $K_{U(n)} \geq 5 \%$

Продолжение таблицы 6

Наименование характеристики	Диапазон измерений	Пределы допускаемой погрешности	Примечание
16 Активная электрическая мощность по каждой фазе и трехфазная с учетом гармоник P_A, P_B, P_C, P , основной частоты по каждой фазе и трехфазная $P_{A(I)}, P_{B(I)}, P_{C(I)}, P_{(I)}$, Вт	$0,7 \cdot U_{\text{ном}} < U < U_{\text{макс}}$ $0,05 \cdot I_{\text{ном}} \leq I \leq I_{\text{максэн}}$	$\pm 0,2 \% (\delta)$	Класс точности 0,2S
	$0,7 \cdot U_{\text{ном}} < U < U_{\text{макс}}$ $0,01 \cdot I_{\text{ном}} \leq I \leq 0,05 \cdot I_{\text{ном}}$	$\pm 0,4 \% (\delta)$	
17 Активная электрическая мощность n-й гармоники по каждой фазе и по сумме фаз $P_{A(n)}, P_{B(n)}, P_{C(n)}, P_{(n)}$, Вт	$0,7 \cdot U_{\text{ном}} < U_{(1)} < U_{\text{макс}}$ $0,05 \cdot U_{(1)} < U_{(n)} < 0,5 \cdot U_{(1)}$ $0,2 \cdot I_{\text{ном}} < I_{(1)} < I_{\text{максэн}}$ $0,05 \cdot I_{(1)} < I_{(n)} < 0,5 \cdot I_{(1)}$ $0,5 \leq \cos \varphi \leq 1,0$	$\pm 5 \% (\delta)$	-
	$0,7 \cdot U_{\text{ном}} < U_{(1)} < U_{\text{макс}}$ $0,05 \cdot U_{(1)} < U_{(n)} < 0,5 \cdot U_{(1)}$ $0,1 \cdot I_{\text{ном}} < I_{(1)} < I_{\text{максэн}}$ $0,05 \cdot I_{(1)} < I_{(n)} < 0,5 \cdot I_{(1)}$ $0,25 \leq \cos \varphi < 0,50$	$\pm 10 \% (\delta)$	
18 Реактивная электрическая мощность по каждой фазе и трехфазная по сумме гармоник Q_A, Q_B, Q_C, Q , основной частоты по каждой фазе и трехфазная $Q_{A(I)}, Q_{B(I)}, Q_{C(I)}, Q_{(I)}$, вар	$0,7 \cdot U_{\text{ном}} < U < U_{\text{макс}}$ $0,05 \cdot I_{\text{ном}} \leq I \leq I_{\text{максэн}}$	$\pm 0,5 \% (\delta)$	Класс точности 0,5S
	$0,7 \cdot U_{\text{ном}} < U < U_{\text{макс}}$ $0,01 \cdot I_{\text{ном}} \leq I \leq 0,05 \cdot I_{\text{ном}}$	$\pm 0,75 \% (\delta)$	
19 Реактивная электрическая мощность n-й гармоники по каждой фазе и трехфазная $Q_{A(n)}, Q_{B(n)}, Q_{C(n)}, Q_{(n)}$, вар	$0,7 \cdot U_{\text{ном}} < U_{(1)} < U_{\text{макс}}$ $0,05 \cdot U_{(1)} < U_{(n)} < 0,5 \cdot U_{(1)}$ $0,2 \cdot I_{\text{ном}} < I_{(1)} < I_{\text{максэн}}$ $0,05 \cdot I_{(1)} < I_{(n)} < 0,5 \cdot I_{(1)}$ $ 0,5 \leq \sin \varphi \leq 1,0$	$\pm 5 \% (\delta)$	-
	$0,7 \cdot U_{\text{ном}} < U_{(1)} < U_{\text{макс}}$ $0,05 \cdot U_{(1)} < U_{(n)} < 0,5 \cdot U_{(1)}$ $0,2 \cdot I_{\text{ном}} < I_{(1)} < I_{\text{максэн}}$ $0,05 \cdot I_{(1)} < I_{(n)} < 0,5 \cdot I_{(1)}$ $0,25 \leq \sin \varphi < 0,50$	$\pm 10 \% (\delta)$	
20 Полная электрическая мощность, В·А: - по каждой фазе и трехфазная S_A, S_B, S_C, S , - основной частоты по каждой фазе и трехфазная $S_{A(I)}, S_{B(I)}, S_{C(I)}, S_{(I)}$	$0,7 \cdot U_{\text{ном}} < U < U_{\text{макс}}$ $0,05 \cdot I_{\text{ном}} \leq I \leq I_{\text{максэн}}$	$\pm 0,5 \% (\delta)$	Класс точности 0,5
21 Полная электрическая мощность n-й гармоники по каждой фазе и трехфазная $S_{A(n)}, S_{B(n)}, S_{C(n)}, S_{(n)}$, В·А	$0,7 \cdot U_{\text{ном}} < U_{(1)} < U_{\text{макс}}$ $0,01 \cdot U_{(1)} < U_{(n)} < 0,5 \cdot U_{(1)}$ $0,1 \cdot I_{\text{ном}} < I_{(1)} < I_{\text{максэн}}$ $0,01 \cdot I_{(1)} < I_{(n)} < 0,5 \cdot I_{(1)}$	$\pm 5 \% (\delta)$	-

Окончание таблицы 6

Наименование характеристики	Диапазон измерений	Пределы допускаемой погрешности	Примечание
22 Коэффициент мощности фазный и средний $\cos\varphi_A$, $\cos\varphi_B$, $\cos\varphi_C$, $\cos\varphi_{cp}$	от -1,00 до +1,00	$\pm 0,01 (\Delta)$	$0,7 \cdot U_{ном} < U < U_{макс}$ $0,1 \cdot I_{ном} < I < I_{максэн}$ $0,25 \leq \cos\varphi \leq 1,00$

Примечания

¹⁾ здесь, и далее нормирующее значение равно номинальному значению напряжения переменного тока;

²⁾ действующее значение фазного напряжения переменного тока с учетом гармоник и интергармоник составляют не более максимального значения $U_{макс}$, приведенного в таблице 5;

³⁾ действующее значение фазной силы переменного тока с учетом гармоник и интергармоник составляют не более максимального значения $I_{макс}$, приведенного в таблице 5.

Пределы допускаемых дополнительных погрешностей измерений параметров напряжения переменного тока, силы переменного тока, электрической мощности модификации КПР-01М-5(10), приведенных в пунктах 2, 7, 16 таблицы 6, при изменении температуры в диапазоне рабочих температур составляют не более половины предела допускаемой основной погрешности на каждые 10 °C.

Таблица 7 – Метрологические характеристики при измерении электрической энергии модификации КПР-01М-5(10)

Тип энергии	Диапазон изменения входных параметров		Пределы допускаемой основной относительной погрешности, %	Примечание
	Сила переменного тока, А	Коэффициент мощности		
1 Активная электрическая энергия трехфазная, W_P	$3 \times (\text{от } 0,01 \cdot I_{ном} \text{ до } 0,05 \cdot I_{ном})$	± 1	$\pm 0,4$	Пределы допускаемых погрешностей соответствуют классу 0,2S по ГОСТ 31819.22-2012, при изменении напряжения от $0,7 \cdot U_{ном}$ до $U_{макс}$
	$3 \times (\text{от } 0,05 \cdot I_{ном} \text{ включ. до } I_{максэн})$		$\pm 0,2$	
	$3 \times (\text{от } 0,02 \cdot I_{ном} \text{ до } 0,1 \cdot I_{ном})$	$\pm 0,5L \text{ и } \pm 0,8C$	$\pm 0,5$	
	$3 \times (\text{от } 0,1 \cdot I_{ном} \text{ включ. до } I_{максэн})$		$\pm 0,3$	
	$3 \times (\text{от } 0,1 \cdot I_{ном} \text{ до } I_{максэн})$	$\pm 0,25L \text{ и } \pm 0,5C$	$\pm 0,5$	
	$1 \times (\text{от } 0,05 \cdot I_{ном} \text{ до } I_{максэн})$	± 1	$\pm 0,3$	
	$1 \times (\text{от } 0,1 \cdot I_{ном} \text{ до } I_{максэн})$	$\pm 0,5L$	$\pm 0,4$	
2 Реактивная электрическая энергия по каждой фазе и трехфазная W_{Q_A} , W_{Q_B} , W_{Q_C} , W_Q	$3 \times (\text{от } 0,02 \cdot I_{ном} \text{ до } 0,05 \cdot I_{ном})$	± 1	$\pm 0,75$	Пределы допускаемых погрешностей соответствуют $\frac{1}{2}$ пределов класса 1 по ГОСТ 31819.23-2012 при изменении напряжения от $0,7 \cdot U_{ном}$ до $U_{макс}$
	$3 \times (\text{от } 0,05 \cdot I_{ном} \text{ включ. до } I_{максэн})$		$\pm 0,5$	
	$3 \times (\text{от } 0,05 \cdot I_{ном} \text{ до } 0,1 \cdot I_{ном})$	$\pm 0,5L \text{ и } \pm 0,5C$	$\pm 0,75$	
	$3 \times (\text{от } 0,1 \cdot I_{ном} \text{ включ. до } I_{максэн})$		$\pm 0,5$	
	$3 \times (\text{от } 0,1 \cdot I_{ном} \text{ до } I_{максэн})$	$\pm 0,25L \text{ и } \pm 0,25C$	$\pm 0,75$	
	$1 \times (\text{от } 0,05 \cdot I_{ном} \text{ до } I_{максэн})$	± 1	$\pm 0,75$	
	$1 \times (\text{от } 0,1 \cdot I_{ном} \text{ до } I_{максэн})$	$\pm 0,5L \text{ и } \pm 0,5C$	$\pm 0,75$	

Измеренные значения активной (реактивной) фазной электрической мощности при старте, номинальном напряжении и $\cos\varphi = \pm 1$ ($\sin\varphi = \pm 1$) соответствуют данным, приведенным в таблице 8.

Таблица 8 – Допустимые значения электрической мощности при стартовом токе для модификации КПР-01М-5(10)

Значение стартового тока, А	$I_{ном}$, А	$U_{ном}$, В	Коэффициент мощности	Допустимое значение фазной активной (реактивной) электрической мощности, Вт (вар)
$0,001 \cdot I_{ном}$	1	57,7	1	не менее +0,03
	5	57,7	1	не менее +0,14
	1	230	1	не менее +0,12
	5	230	1	не менее +0,58
	1	57,7	-1	не более -0,03
	5	57,7	-1	не более -0,14
	1	230	-1	не более -0,12
	5	230	-1	не более -0,58

После приложения напряжения переменного тока, равного $1,15 \cdot U_{ном}$ и при отсутствии силы переменного тока в цепях тока абсолютные значения измеренных фазных электрических мощностей равны нулю (отсутствие самохода).

Таблица 9 – Пределы допускаемых дополнительных погрешностей измерений активной и реактивной электрической энергии модификации КПР-01М-5(10)

Влияющая величина	Диапазон изменения			Пределы допускаемой дополнительной относительной погрешности измерений	
	влияющей величины	силы переменного тока	коэффициента мощности	активной электрической энергии	реактивной электрической энергии
1 Температура окружающей среды, °С	от -40 до +55	от $0,05 \cdot I_{ном}$ до $I_{максэн}$	1	$\pm 0,01 \% / ^\circ C$	$\pm 0,025 \% / ^\circ C$
		от $0,1 \cdot I_{ном}$ до $I_{макс}$	0,5L	$\pm 0,02 \% / ^\circ C$	$\pm 0,035 \% / ^\circ C$
2 Частота сети, Гц	от 49 до 51	от $0,05 \cdot I_{ном}$ до $I_{максэн}$	1	$\pm 0,1 \%$	$\pm 0,75 \%$
		от $0,1 \cdot I_{ном}$ до $I_{максэн}$	0,5L	$\pm 0,1 \%$	$\pm 0,75 \%$
3 Обратный порядок следования фаз	–	$0,1 \cdot I_{ном}$	1	$\pm 0,05 \%$	–
4 Несимметрия напряжения	–	$I_{ном}$	1	$\pm 0,5 \%$	–
5 Напряжение цепи питания, В	в пределах допустимого диапазона	$0,01 \cdot I_{ном}$	1	$\pm 0,05 \%$	–
6 Гармоники в цепях тока и напряжения	пятая гармоника в сигнале напряжения переменного тока значением $0,1 \cdot U_{ном}$ и в сигнале силы переменного тока значением $0,4 \cdot I_{(1)}$.	$0,5 \cdot I_{макс}$	1	$\pm 0,4 \%$	–
7 Субгармоники в цепи переменного тока	форма сигнала с субгармониками в соответствии с ГОСТ 31819.22-2012	$0,5 \cdot I_{ном}$	1	$\pm 0,6 \%$	–

Влияющая величина	Диапазон изменения			Пределы допускаемой дополнительной относительной погрешности измерений	
	влияющей величины	силы переменного тока	коэффициента мощности	активной электрической энергии	реактивной электрической энергии
8 Постоянная магнитная индукция внешнего происхождения	значение магнитодвижущей силы 1000 ампервитков	$I_{ном}$	1	±2,0 %	±1,0 %
9 Переменная магнитная индукция внешнего происхождения, мТл	0,5	$I_{ном}$	1	±0,5 %	±1,0 %
10 Радиочастотные электромагнитные поля, В/м	10	$I_{ном}$	1	±1,0 %	±1,0 %
11 Функционирование вспомогательных частей	—	$0,01 \cdot I_{ном}$	1	±0,05 %	±0,25 %
12 Кондуктивные помехи, наводимые радиочастотными полями	полоса частот - от 150 кГц до 80 МГц; уровень напряжения - 10 В	$I_{ном}$	1	±1,0 %	±1,0 %
13 Наносекундные импульсные помехи	—	$I_{ном}$	1	±1,0 %	±2,0 %
14 Колебательные затухающие помехи	—	$I_{ном}$	1	±1,0 %	±1,0 %

Изменение погрешности измерений активной и реактивной электрической энергии модификации КПР-01М-5(10) после влияния кратковременных перегрузок током не превышает значений, указанных в таблице 10.

Таблица 10 – Кратковременные перегрузки входным током модификации КПР-01М-5(10)

Сила переменного тока, протекающего в цепях тока, А	Длительность воздействия, с	Пределы изменения погрешности, %	
		активной электрической энергии	реактивной электрической энергии
$20 \cdot I_{максэн}$	0,5	±0,05 %	±0,25 %

Таблица 11 – Метрологические характеристики встроенных часов модификации КПР-01М-5(10)

Наименование характеристики	Значение
Пределы допускаемой абсолютной погрешности суточного хода встроенных часов при отсутствии синхронизации от внешнего источника, с (в сутки в диапазоне рабочих температур)	±1
Пределы допускаемой абсолютной погрешности установки времени встроенных часов при синхронизации от внешнего источника, мс	±1

Таблица 12 – Метрологические характеристики при измерении ПКЭ модификации КПР-01М-5(10)

Наименование характеристики	Диапазон измерений	Пределы допускаемой основной погрешности: Δ -абсолютной, δ -относительной, γ - приведенной
1 Частота напряжения переменного тока f , Гц	от 42,5 до 57,5	$\pm 0,01$ Гц (Δ)
2 Отклонение частоты напряжения переменного тока Δf , Гц	$\pm 7,5$	$\pm 0,01$ Гц (Δ)
3 Отрицательное отклонение напряжения переменного тока $\delta U_{(-)A}, \delta U_{(-)B}, \delta U_{(-)C}$, %	от 0 до 90 ¹⁾	$\pm 0,1$ % (Δ)
4 Положительное отклонение напряжения переменного тока $\delta U_{(+)}A, \delta U_{(+)}B, \delta U_{(+)}C$, %	от 0 до 100	$\pm 0,1$ % (Δ)
5 Установившееся отклонение напряжения переменного тока $\delta U_yA, \delta U_yB, \delta U_yC$, %	± 30	$\pm 0,2$ % (Δ)
6 Коэффициент несимметрии напряжений по нулевой и обратной последовательности K_{0U}, K_{2U} , %	от 0 до 20	$\pm 0,15$ % (Δ)
7 Коэффициент n-й гармонической составляющей фазного напряжения переменного тока $K_{UA(n)}, K_{UB(n)}, K_{UC(n)}$ (для n от 2 до 50), %	$0 \leq K_U < 1,00$ $1 \leq K_U < 50$	$\pm 0,05$ % (Δ) $\pm 5,0$ % (δ)
8 Коэффициент искажения синусоидальности кривой напряжения переменного тока K_{UA}, K_{UB}, K_{UC} , %	$0 \leq K_U < 1$ $1 \leq K_U < 50$	$\pm 0,05$ % (Δ) $\pm 5,0$ % (δ)
9 Коэффициент m-й интергармонической составляющей фазного напряжения переменного тока $K_{UAisg(m)}, K_{UBisg(m)}, K_{UCisg(m)}$, (для m от 0 до 49), %	$0 \leq K_U < 1$ $1 \leq K_U < 50$	$\pm 0,05$ % (Δ) $\pm 5,0$ % (δ)
10 Кратковременная и длительная доза фликера P_{S1}, P_{L1} , отн.ед.	от 0,2 до 10,0	± 5 % (δ)
11 Длительность провала напряжения переменного тока Δt_{prov} , с	от $1T^{1,2)}$	$\pm 1T^{2)} (\Delta)$
12 Глубина провала напряжения переменного тока δU_{prov} , %	от 0 до 100 ¹⁾	$\pm 0,2$ % (Δ)
13 Остаточное напряжение при провале напряжения переменного тока U_{prov} , В	от 0 до $U_{nom}^{1)}$	$\pm 0,2$ % (γ)
14 Длительность прерывания напряжения переменного тока Δt_{prep} , с	от $1T^{2,3)}$	$\pm 1T^{2)} (\Delta)$
15 Глубина прерывания напряжения переменного тока δU_{prep} , %	от 0 до 100 ³⁾	$\pm 0,2$ % (Δ)
16 Остаточное напряжение при прерывании напряжения переменного тока U_{prep} , В	от 0 до $0,1 \cdot U_{nom}^{3)}$	$\pm 0,2$ % (γ)
17 Длительность временного перенапряжения Δt_{nep} , с	от $1T^{2)}$	$\pm 1T^{2)} (\Delta)$
18 Коэффициент временного перенапряжения K_{nep}	от 1 до 2	$\pm 0,002$ (Δ)
19 Максимальное напряжение при перенапряжении U_{nep} , В	от U_{nom} до $2 \cdot U_{nom}$	$\pm 0,2$ % (γ)
Примечания		
¹⁾ при условии наличия напряжения переменного тока от $0,7 \cdot U_{nom}$ до $1,3 \cdot U_{nom}$ хотя бы на одной цепи напряжения, либо допустимого напряжения на основной или резервной цепи питания;		
²⁾ символом Т обозначена продолжительность одного периода основной гармоники напряжения переменного тока;		
³⁾ при условии наличия допустимого напряжения на основной или резервной цепи питания.		

Таблица 13 – Диапазоны изменения влияющих величин при измерении ПКЭ модификации КПР-01М-5(10)

Влияющая величина	Диапазон изменения
1 Частота напряжения переменного тока, Гц	от 42,5 до 57,5
2 Напряжение переменного тока, В	от $0,1 \cdot U_{ном}$ до $U_{макс}$
3 Кратковременная доза фликера, %	от 0 до 20
4 Несимметрия напряжения: коэффициенты несимметрии напряжения по обратной и нулевой последовательностям, %	от 0 до 20
5 Гармоники напряжения	удвоенные значения, установленные в ГОСТ Р 51317.2.4-2000 для класса 3 электромагнитной обстановки (в части коэффициента искажения синусоидальности кривой напряжения)
6 Интергармоники напряжения	удвоенные значения, установленные в ГОСТ Р 51317.2.4-2000 для класса 3 электромагнитной обстановки
7 Микросекундные импульсные помехи	пиковое значение 6 кВ
8 Наносекундные импульсные помехи	пиковое значение 4 кВ

Погрешности измерений ПКЭ при изменении влияющих величин в диапазонах, приведенных в таблице 13, находятся в пределах, установленных в таблице 12.

Пределы допускаемых дополнительных погрешностей измерений ПКЭ модификации КПР-01М-5(10) при изменении температуры в диапазоне рабочих температур составляют не более половины предела допускаемых основных погрешностей на каждые 10 °С.

Таблица 14 – Общие метрологические и технические характеристики модификации КПР-01М-5(150)

Наименование характеристики	Значение
Номинальное фазное напряжение переменного тока $U_{ном}$, В	от 57 до 230*
Максимальное значение напряжения переменного тока $U_{макс}$, В	300
Номинальный ток $I_{ном}$, А	5
Максимальное значение силы переменного тока при измерении среднеквадратического значения силы переменного тока, А	150
Максимальное значение силы переменного тока при измерении электрической энергии, А	10
Класс точности при измерении активной электрической энергии	0,5S
Класс точности при измерении реактивной электрической энергии	1
Время начального запуска до начала учета электроэнергии, с	5
Постоянная перевода импульсов в энергию, имп/кВт·ч (имп/квар·ч)	5000 (5000)
Габаритные размеры (длина×высота×ширина), мм, не более	96×96×155
Масса, кг, не более	0,9
Средняя наработка на отказ с учетом технического обслуживания, ч	100 000
Среднее время восстановления работоспособности, ч	1
Средний срок службы, лет	30
Нормальные условия измерений: - температура окружающей среды, °С - относительная влажность воздуха, %	от 15 до +25 от 30 до 80
Рабочие условия измерений: - температура окружающей среды, °С - относительная влажность (при +35 °С и ниже, без конденсации влаги), %, не более	от -40 до +55 95
Примечание - * Выбирается программно при конфигурировании	

Таблица 15 – Основные метрологические характеристики модификации КПР-01М-5(150)

Наименование характеристики	Диапазон измерений	Пределы допускаемой погрешности	Примечание
1 Частота основной гармоники напряжения переменного тока f , Гц	от 42,5 до 57,5	$\pm 0,01$ Гц (Δ)	-
2 Среднеквадратическое значение фазного напряжения переменного тока, U_A , U_B , U_C , В	от 10 до 40 включ.	$\pm 0,5$ % (δ)	Класс точности 0,2
	от 40 до U_{\max}	$\pm 0,2$ % (δ)	
3 Среднеквадратическое значение междуфазного напряжения переменного тока, U_{AB} , U_{BC} , U_{CA} , В	от 17,3 до 69,2 включ.	$\pm 0,5$ % (δ)	Класс точности 0,2
	от 69,2 до 519	$\pm 0,2$ % (δ)	
4 Среднеквадратическое значение напряжения переменного тока основной частоты $U_{A(1)}$, $U_{B(1)}$, $U_{C(1)}$, прямой, обратной и нулевой последовательности U_1 , U_2 , U_0 , В	от 23 до U_{\max}	$\pm 0,1$ % (γ) ¹⁾	-
5 Среднеквадратическое значение n-й гармонической составляющей фазного напряжения переменного тока $U_{A(n)}$, $U_{B(n)}$, $U_{C(n)}$, В ²⁾	$0 \leq U_{(n)} < 0,01 \cdot U_{\text{ном}}$	$\pm 0,0005 \cdot U_{\text{ном}}$ В (Δ)	$0,1 \cdot U_{\text{ном}} < U_{(1)} < U_{\max}$ для n от 2 до 50
	$0,01 \cdot U_{\text{ном}} \leq U_{(n)} < 0,5 \cdot U_{\text{ном}}$	$\pm 5,0$ % (δ)	
6 Среднеквадратическое значение m-й интергармонической составляющей фазного напряжения переменного тока $U_{A\text{isg}(m)}$, $U_{B\text{isg}(m)}$, $U_{C\text{isg}(m)}$, В ²⁾	$0 \leq U_{\text{isg}(m)} < 0,01 \cdot U_{\text{ном}}$	$\pm 0,0005 \cdot U_{\text{ном}}$ В (Δ)	$0,1 \cdot U_{\text{ном}} < U_{(1)} < U_{\max}$ для m от 0 до 49
	$0,01 \cdot U_{\text{ном}} \leq U_{\text{isg}(m)} < 0,5 \cdot U_{\text{ном}}$	$\pm 5,0$ % (δ)	
7 Среднеквадратическое значение фазной силы переменного тока (с учетом гармоник) I_A , I_B , I_C , среднеквадратическое значение фазной силы переменного тока основной частоты $I_{A(1)}$, $I_{B(1)}$, $I_{C(1)}$, среднеквадратическое значение тока прямой, обратной и нулевой последовательности I_1 , I_2 , I_0 , А	$0,01 \cdot I_{\text{ном}} \leq I < 0,5 \cdot I_{\text{ном}}$	$\pm [1,0 + 0,5 \left(\frac{I_{\text{ном}}}{I} - 1 \right)]$ % (δ)	-
	$0,5 \cdot I_{\text{ном}} \leq I < I_{\max}$	$\pm 1,0$ % (δ)	
8 Коэффициент несимметрии тока по нулевой и обратной последовательности, K_{0l} , K_{2l} , %	от 0 до 50	$\pm 0,3$ % (Δ)	$0,5 \cdot I_{\text{ном}} < I < I_{\max}$

Продолжение таблицы 15

Наименование характеристики	Диапазон измерений	Пределы допускаемой погрешности	Примечание
9 Среднеквадратическое значение n-й гармонической составляющей фазной силы переменного тока $I_{A(n)}$, $I_{B(n)}$, $I_{C(n)}$, А ³⁾	от $0 \leq I_{(n)} < 0,03 \cdot I_{\text{ном}}$ $0,03 \cdot I_{\text{ном}} \leq I_{(n)} < I_{\text{ном}}$	$\pm 0,0015 \cdot I_{\text{ном}}$ А (Δ) $\pm 5,0 \% (\delta)$	- для n от 2 до 50, $0,5 \cdot I_{\text{ном}} < I_{(1)} < I_{\text{макс}}$
10 Коэффициент n-й гармонической составляющей фазной силы переменного тока $K_{IA(n)}$, $K_{IB(n)}$, $K_{IC(n)}$, %	$0 \leq K_{I(n)} < 3$ $3 \leq K_{I(n)} < 50$	$\pm 0,15 \% (\Delta)$ $\pm 5,0 \% (\delta)$	для n от 2 до 50 $0,5 \cdot I_{\text{ном}} < I_{(1)} < I_{\text{макс}}$
11 Коэффициент искажения синусоидальности кривой тока K_{IA} , K_{IB} , K_{IC} , %	$0 \leq K_I < 3$ $3 \leq K_I < 60$	$\pm 0,15 \% (\Delta)$ $\pm 5 \% (\delta)$	-
12 Угол фазового сдвига между фазными напряжениями основной частоты $\varphi_{UAB(1)}$, $\varphi_{UBC(1)}$, $\varphi_{UCA(1)}$, °	от -180 до +180	$\pm 0,2^\circ (\Delta)$	$0,1 \cdot U_{\text{ном}} < U_{(1)} < U_{\text{макс}}$
13 Угол фазового сдвига между фазными токами основной частоты $\varphi_{IAB(1)}$, $\varphi_{IBC(1)}$, $\varphi_{ICA(1)}$, °	от -180 до +180	$\pm 0,5^\circ (\Delta)$	$0,5 \cdot I_{\text{ном}} < I_{(1)} < I_{\text{макс}}$
14 Угол фазового сдвига между фазным напряжением и фазным током основной частоты $\varphi_{UIA(1)}$, $\varphi_{UIB(1)}$, $\varphi_{UIC(1)}$, между напряжением и током прямой, нулевой и обратной последовательности, $\varphi_{U_{III}}$, $\varphi_{U_{010}}$, $\varphi_{U_{212}}$, °	от -180 до +180	$\pm 5^\circ (\Delta)$ $\pm 0,5^\circ (\Delta)$	$0,5 \cdot I_{\text{ном}} < I_{(1)} < I_{\text{ном}}$ $0,1 \cdot U_{\text{ном}} < U_{(1)} < U_{\text{макс}}$ $I_{\text{ном}} \leq I_{(1)} < I_{\text{макс}}$ $0,1 \cdot U_{\text{ном}} < U_{(1)} < U_{\text{макс}}$
15 Угол фазового сдвига между напряжением и током n-й гармонической составляющей $\varphi_{UIA(n)}$, $\varphi_{UIB(n)}$, $\varphi_{UIC(n)}$, °	от -180 до +180	$\pm 5^\circ (\Delta)$ $\pm 10^\circ (\Delta)$ $\pm 10^\circ (\Delta)$	$0,5 \cdot I_{\text{ном}} < I < I_{\text{максэн}}$, $K_{I(n)} \geq 5 \%$, $K_{U(n)} \geq 5 \%$ $0,5 \cdot I_{\text{ном}} < I < I_{\text{максэн}}$, $1 \% \leq K_{I(n)} < 5 \%$, $1 \% \leq K_{U(n)} < 5 \%$ $0,1 \cdot I_{\text{ном}} < I \leq 0,5 \cdot I_{\text{ном}}$, $K_{I(n)} \geq 5 \%$, $K_{U(n)} \geq 5 \%$
16 Активная электрическая мощность по каждой фазе и трехфазная P_A , P_B , P_C , P , основной частоты по каждой фазе и трехфазная $P_{A(1)}$, $P_{B(1)}$, $P_{C(1)}$, $P_{(1)}$, прямой, обратной и нулевой последовательности P_1 , P_2 , P_0 , Вт	$0,7 \cdot U_{\text{ном}} < U < U_{\text{макс}}$ $0,2 \cdot I_{\text{ном}} < I < I_{\text{максэн}}$ $0,5 \leq \cos\varphi \leq 1,0$ $0,7 \cdot U_{\text{ном}} < U < U_{\text{макс}}$ $0,2 \cdot I_{\text{ном}} < I < I_{\text{максэн}}$ $0,25 \leq \cos\varphi \leq 0,50$	$\pm 1,0 \% (\delta)$ $\pm 1,5 \% (\delta)$	- -

Продолжение таблицы 15

Наименование характеристики	Диапазон измерений	Пределы допускаемой погрешности	Примечание
17 Активная электрическая мощность n-й гармоники по каждой фазе и по сумме фаз $P_{A(n)}, P_{B(n)}, P_{C(n)}, P_{(n)}$, Вт	$0,7 \cdot U_{\text{ном}} < U_{(1)} < U_{\text{макс}}$ $0,05 \cdot U_{(1)} < U_{(n)} < 0,5 \cdot U_{(1)}$ $0,5 \cdot I_{\text{ном}} < I_{(1)} < I_{\text{максэн}}$ $0,05 \cdot I_{(1)} < I_{(n)} < 0,5 \cdot I_{(1)}$ $0,5 \leq \cos\varphi \leq 1,0$	$\pm 10 \% (\delta)$	-
	$0,7 \cdot U_{\text{ном}} < U_{(1)} < U_{\text{макс}}$ $0,05 \cdot U_{(1)} < U_{(n)} < 0,5 \cdot U_{(1)}$ $0,5 \cdot I_{\text{ном}} < I_{(1)} < I_{\text{максэн}}$ $0,05 \cdot I_{(1)} < I_{(n)} < 0,5 \cdot I_{(1)}$ $0,25 \leq \cos\varphi < 0,50$	$\pm 15 \% (\delta)$	-
18 Реактивная электрическая мощность по каждой фазе и трехфазная по сумме гармоник Q_A, Q_B, Q_C, Q , основной частоты по каждой фазе и трехфазная $Q_{A(I)}, Q_{B(I)}, Q_{C(I)}, Q_{(I)}$, прямой, обратной и нулевой последовательности Q_1, Q_2, Q_0 , вар	$0,7 \cdot U_{\text{ном}} < U < U_{\text{макс}}$ $0,2 \cdot I_{\text{ном}} < I < I_{\text{максэн}}$ $0,5 \leq \sin\varphi \leq 1,0$	$\pm 1,0 \% (\delta)$	-
	$0,7 \cdot U_{\text{ном}} < U < U_{\text{макс}}$ $0,2 \cdot I_{\text{ном}} < I < I_{\text{максэн}}$ $0,25 \leq \sin\varphi < 0,50$	$\pm 1,5 \% (\delta)$	-
19 Реактивная электрическая мощность n-й гармоники по каждой фазе и трехфазная $Q_{A(n)}, Q_{B(n)}, Q_{C(n)}, Q_{(n)}$, вар	$0,7 \cdot U_{\text{ном}} < U_{(1)} < U_{\text{макс}}$ $0,05 \cdot U_{(1)} < U_{(n)} < 0,5 \cdot U_{(1)}$ $0,5 \cdot I_{\text{ном}} < I_{(1)} < I_{\text{максэн}}$ $0,05 \cdot I_{(1)} < I_{(n)} < 0,5 \cdot I_{(1)}$ $0,5 \leq \sin\varphi \leq 1,0$	$\pm 5 \% (\delta)$	-
	$0,7 \cdot U_{\text{ном}} < U_{(1)} < U_{\text{макс}}$ $0,05 \cdot U_{(1)} < U_{(n)} < 0,5 \cdot U_{(1)}$ $0,5 \cdot I_{\text{ном}} < I_{(1)} < I_{\text{максэн}}$ $0,05 \cdot I_{(1)} < I_{(n)} < 0,5 \cdot I_{(1)}$ $0,25 \leq \sin\varphi < 0,50$	$\pm 10 \% (\delta)$	-
20 Полная электрическая мощность, В·А: - по каждой фазе и трехфазная S_A, S_B, S_C, S , - основной частоты по каждой фазе и трехфазная $S_{A(I)}, S_{B(I)}, S_{C(I)}, S_{(I)}$; - прямой, обратной и нулевой последовательности S_1, S_2, S_0 .	$0,7 \cdot U_{\text{ном}} < U < U_{\text{макс}}$ $0,1 \cdot I_{\text{ном}} < I < I_{\text{максэн}}$	$\pm 1,5 \% (\delta)$	-
21 Полная электрическая мощность n-й гармоники по каждой фазе и трехфазная $S_{A(n)}, S_{B(n)}, S_{C(n)}, S_{(n)}$, В·А	$0,7 \cdot U_{\text{ном}} < U_{(1)} < U_{\text{макс}}$ $0,05 \cdot U_{(1)} < U_{(n)} < 0,5 \cdot U_{(1)}$ $0,5 \cdot I_{\text{ном}} < I_{(1)} < I_{\text{максэн}}$ $0,05 \cdot I_{(1)} < I_{(n)} < 0,5 \cdot I_{(1)}$	$\pm 5 \% (\delta)$	-
22 Коэффициент мощности фазный и средний $\cos\varphi_A, \cos\varphi_B, \cos\varphi_C, \cos\varphi_{cp}$	от -1,00 до 1,00	$\pm 0,02 (\Delta)$	$0,7 \cdot U_{\text{ном}} < U < U_{\text{макс}}$ $0,1 \cdot I_{\text{ном}} < I < I_{\text{максэн}}$ $0,25 \leq \cos\varphi \leq 1,00$

Окончание таблицы 15

Примечания

¹⁾ нормирующее значение равно номинальному значению напряжения переменного тока.

²⁾ действующее значение фазного напряжения переменного тока с учетом гармоник и интергармоник составляют не более максимального значения, приведенного в таблице 14.

³⁾ действующее значение фазной силы переменного тока с учетом гармоник и интергармоник составляют не более максимального значения, приведенного в таблице 14.

Пределы допускаемых дополнительных погрешностей измерений параметров напряжения переменного тока, силы переменного тока, электрической мощности модификации КПР-01М-5(150), приведенных в пунктах 2, 7, 16 таблицы 15, при изменении температуры в диапазоне рабочих температур составляют не более половины предела допускаемой основной погрешности на каждые 10 °C.

Таблица 16 – Метрологические характеристики при измерении энергии модификации КПР-01М-5(150)

Тип энергии	Диапазон изменения входных параметров		Пределы допускаемой основной относительной погрешности, %	Примечание
	Сила переменного тока, А	Коэффициент мощности		
1 Активная электрическая энергия по каждой фазе и трехфазная W_{PA} , W_{PB} , W_{PC} , W_P	3 × (от 0,01 · $I_{ном}$ до 0,05 · $I_{ном}$)	±1	±1,0	Пределы допускаемых погрешностей соответствуют классу 0,5S по ГОСТ 31819.22-2012, при изменении напряжения от 0,7 · $U_{ном}$ до $U_{макс}$
	3 × (от 0,05 · $I_{ном}$ включ. до $I_{максэн}$)		±0,5	
	3 × (от 0,02 · $I_{ном}$ до 0,10 · $I_{ном}$)	±0,5L и ±0,8C	±1,0	
	3 × (от 0,1 · $I_{ном}$ включ. до $I_{максэн}$)		±0,6	
	3 × (от 0,1 · $I_{ном}$ до $I_{максэн}$)	±0,25L и ±0,50C	±1,0	
	1 × (от 0,05 · $I_{ном}$ до $I_{максэн}$)		±0,6	
	1 × (от 0,1 · $I_{ном}$ до $I_{максэн}$)	±0,5L	±1,0	
2 Реактивная электрическая энергия по каждой фазе и трехфазная W_{QA} , W_{QB} , W_{QC} , W_Q	3 × (от 0,02 · $I_{ном}$ до 0,05 · $I_{ном}$)	±1	±1,5	Пределы допускаемых погрешностей соответствуют классу 1 по ГОСТ 31819.23-2012, при изменении напряжения от 0,7 · $U_{ном}$ до $U_{макс}$
	3 × (от 0,05 · $I_{ном}$ включ. до $I_{максэн}$)		±1,0	
	3 × (от 0,05 · $I_{ном}$ до 0,10 · $I_{ном}$)	±0,5L и ±0,5C	±1,5	
	3 × (от 0,1 · $I_{ном}$ включ. до $I_{максэн}$)		±1,0	
	3 × (от 0,1 · $I_{ном}$ до $I_{максэн}$)	±0,25L и ±0,25C	±1,5	
	1 × (от 0,05 · $I_{ном}$ до $I_{максэн}$)		±1,5	
	1 × (от 0,1 · $I_{ном}$ до $I_{максэн}$)	±0,5L и ±0,5C	±1,5	

Измеренные значения активной (реактивной) фазной электрической мощности при стартовом токе, номинальном напряжении переменного тока и $\cos \varphi = \pm 1$ ($\sin \varphi = \pm 1$) соответствуют данным, приведенным в таблице 17.

Таблица 17 – Допустимые значения электрической мощности при стартовом токе для модификации КПР-01М-5(150)

Электрическая мощность	Значение стартового тока, А	$U_{ном}$, В	$I_{ном}$, А	Коэффициент мощности	Допустимое значение фазной электрической мощности, Вт (вар)
Активная	$0,001 \cdot I_{ном}$	57	5	1	не менее +0,14
		230	5	1	не менее +0,58
		57	5	-1	не более -0,14
		230	5	-1	не более -0,58
Реактивная	$0,002 \cdot I_{ном}$	57	5	1	не менее +0,29
		230	5	1	не менее +1,15
		57	5	-1	не более -0,14
		230	5	-1	не более -1,15

После приложения напряжения переменного тока, равного $1,15 \cdot U_{ном}$ и при отсутствии тока в цепях тока абсолютные значения измеренных фазных электрических мощностей равны нулю (отсутствие самохода).

Таблица 18 – Пределы допускаемых дополнительных погрешностей измерений активной и реактивной электрической энергии модификации КПР-01М-5(150)

Влияющая величина	Диапазон изменения			Пределы допускаемой дополнительной относительной погрешности измерений	
	влияющей величины	силы переменного тока	коэффициента мощности	активной электрической энергии	реактивной электрической энергии
1 Температура окружающей среды, °C	от -40 до +55	от $0,05 \cdot I_{ном}$ до $I_{максэн}$	1	$\pm 0,03 \% / ^\circ C$	$\pm 0,05 \% / ^\circ C$
		от $0,1 \cdot I_{ном}$ до $I_{максэн}$	0,5L	$\pm 0,05 \% / ^\circ C$	$\pm 0,07 \% / ^\circ C$
2 Частота сети, Гц	от 49 до 51	от $0,05 \cdot I_{ном}$ до $I_{максэн}$	1	$\pm 0,2 \%$	$\pm 1,5 \%$
		от $0,1 \cdot I_{ном}$ до $I_{максэн}$	0,5L	$\pm 0,2 \%$	$\pm 1,5 \%$
3 Обратный порядок следования фаз	–	$0,1 \cdot I_{ном}$	1	$\pm 0,1 \%$	–
4 Несимметрия напряжения	–	$I_{ном}$	1	$\pm 1,0 \%$	–
5 Напряжение цепи питания, В	В пределах допустимого диапазона	$0,01 \cdot I_{ном}$	1	$\pm 0,1 \%$	–
6 Гармоники в цепях тока и напряжения	пятая гармоника в сигнале напряжения значением $0,1 \cdot U_{ном}$ и в сигнале тока значением $0,4 \cdot I_{(1)}$.	$0,5 \cdot I_{макс}$	1	$\pm 0,5 \%$	–

Окончание таблицы 18

Влияющая величина	Диапазон изменения			Пределы допускаемой дополнительной относительной погрешности измерений	
	влияющей величины	силы переменного тока	коэффициента мощности	активной электрической энергии	реактивной электрической энергии
7 Субгармоники в цепи переменного тока	форма сигнала с субгармониками в соответствии с ГОСТ 31819.22-2012	$0,5 \cdot I_{ном}$	1	$\pm 1,5 \%$	—
8 Постоянная магнитная индукция внешнего происхождения	значение магнитодвижущей силы 1000 ампервитков	$I_{ном}$	1	$\pm 2,0 \%$	$\pm 2,0 \%$
9 Переменная магнитная индукция внешнего происхождения, мТл	0,5	$I_{ном}$	1	$\pm 1,0 \%$	$\pm 2,0 \%$
10 Радиочастотные электромагнитные поля, В/м	10	$I_{ном}$	1	$\pm 2,0 \%$	$\pm 2,0 \%$
11 Функционирование вспомогательных частей	—	$0,01 \cdot I_{ном}$	1	$\pm 0,1 \%$	$\pm 0,5 \%$
12 Кондуктивные помехи, наводимые радиочастотными полями	полоса частот - от 150 кГц до 80 МГц; уровень напряжения - 10 В	$I_{ном}$	1	$\pm 2,0 \%$	$\pm 2,0 \%$
13 Наносекундные импульсные помехи	—	$I_{ном}$	1	$\pm 2,0 \%$	$\pm 4,0 \%$
14 Колебательные затухающие помехи	—	$I_{ном}$	1	$\pm 2,0 \%$	$\pm 2,0 \%$

Изменение погрешности измерений активной и реактивной электрической энергии модификации КПР-01М-5(150) после влияния кратковременных перегрузок током не превышает значений, указанных в таблице 19.

Таблица 19 – Кратковременные перегрузки входным током модификации КПР-01М-5(150)

Сила переменного тока, протекающего в цепях тока, А	Длительность воздействия, с	Пределы изменения погрешности, %	
		активной электрической энергии	реактивной электрической энергии
$I_{макс}$	3	$\pm 0,05 \%$	$\pm 0,5 \%$
$20 \cdot I_{максэн}$	0,5		

Таблица 20 – Метрологические характеристики встроенных часов модификации КПР-01М-5(150)

Наименование характеристики	Значение
Пределы допускаемой абсолютной погрешности суточного хода встроенных часов при отсутствии синхронизации от внешнего источника, с (в сутки в диапазоне рабочих температур)	± 1
Пределы допускаемой абсолютной погрешности установки времени встроенных часов при синхронизации от внешнего источника, мс	± 1

Таблица 21 – Метрологические характеристики при измерении ПКЭ модификации КПР-01М-5(150)

Наименование характеристики	Диапазон измерений	Пределы допускаемой основной погрешности: Δ-абсолютной, δ-относительной, γ - приведенной
1 Частота напряжения переменного тока f , Гц	от 42,5 до 57,5	$\pm 0,01$ Гц (Δ)
2 Отклонение частоты переменного тока Δf , Гц	$\pm 7,5$	$\pm 0,01$ Гц (Δ)
3 Отрицательное отклонение напряжения переменного тока $\delta U_{(-)A}$, $\delta U_{(-)B}$, $\delta U_{(-)C}$, %	от 0 до 90 ¹⁾	$\pm 0,1$ % (Δ)
4 Положительное отклонение напряжения переменного тока $\delta U_{(+)}A$, $\delta U_{(+)}B$, $\delta U_{(+)}C$, %	от 0 до 100	$\pm 0,1$ % (Δ)
	от 0 до 30	–
5 Установившееся отклонение напряжения переменного тока δU_{yA} , δU_{yB} , δU_{yC} , %	± 30	$\pm 0,2$ % (Δ)
6 Коэффициент несимметрии напряжений по нулевой и обратной последовательности K_{0U} , K_{2U} , %	от 0 до 20	$\pm 0,15$ % (Δ)
	от 0,05 до 1,00	$\pm 0,05$ % (Δ)
7 Коэффициент n-й гармонической составляющей фазного напряжения переменного тока $K_{UA(n)}$, $K_{UB(n)}$, $K_{UC(n)}$ (для n от 2 до 50), %	от 1 до 50	$\pm 5,0$ % (δ)
	от 0,1 до 1,0	$\pm 0,05$ % (Δ)
8 Коэффициент искажения синусоидальности кривой напряжения переменного тока K_{UA} , K_{UB} , K_{UC} , %	от 1 до 50	$\pm 5,0$ % (δ)
	от 0,05 до 1,00	$\pm 0,05$ % (Δ)
9 Коэффициент m-й интергармонической составляющей фазного напряжения переменного тока $K_{UAisg(m)}$, $K_{UBisg(m)}$, $K_{UCisg(m)}$, (для m от 0 до 49, %)	от 1 до 50	$\pm 5,0$ % (δ)
	от 0,05 до 1,00	$\pm 0,05$ % (Δ)
10 Кратковременная и длительная доза фликера P_{SI} , P_{LI} , отн.ед.	от 0,2 до 10,0	± 5 % (δ)
11 Длительность провала напряжения переменного тока Δt_{prov} , с	от 1T ^{1), 2)}	$\pm 1T^{2)} (\Delta)$
12 Глубина провала напряжения переменного тока δU_{prov} , %	от 0 до 100 ¹⁾	$\pm 0,2$ % (Δ)
13 Остаточное напряжение при провале напряжения переменного тока U_{prov} , В	от 0 до U_{nom} ¹⁾	$\pm 0,2$ % (γ)
14 Длительность прерывания напряжения переменного тока Δt_{prep} , с	от 1T ^{2), 3)}	$\pm 1T^{2)} (\Delta)$
15 Глубина прерывания напряжения переменного тока δU_{prep} , %	от 0 до 100 ³⁾	$\pm 0,2$ % (Δ)
16 Остаточное напряжение при прерывании напряжения переменного тока U_{prep} , В	от 0 до $0,1 \cdot U_{nom}$ ³⁾	$\pm 0,2$ % (γ)

Окончание таблицы 21

Наименование характеристики	Диапазон измерений	Пределы допускаемой основной погрешности: Δ -абсолютной, δ -относительной, γ - приведенной
17 Длительность временного перенапряжения Δt_{nep} , с	от $17^{2)}$	$\pm 17^{2)} (\Delta)$
18 Коэффициент временного перенапряжения K_{nep}	от 1 до 2	$\pm 0,002 (\Delta)$
19 Максимальное напряжение при перенапряжении U_{nep} , В	от U_{nom} до $2 \cdot U_{nom}$	$\pm 0,2 \% (\gamma)$
Примечания		
¹⁾ при условии наличия напряжения переменного тока от $0,7 \cdot U_{nom\phi}$ до $1,3 \cdot U_{nom\phi}$ хотя бы на одной цепи напряжения, либо допустимого напряжения на основной или резервной цепи питания;		
²⁾ символом Т обозначена продолжительность одного периода основной гармоники напряжения переменного тока;		
³⁾ при условии наличия допустимого напряжения на основной или резервной цепи питания.		

Таблица 22 – Диапазоны изменения влияющих величин при измерении ПКЭ модификации КПР-01М-5(150)

Влияющая величина	Диапазон изменения
1 Частота напряжения переменного тока, Гц	от 42,5 до 57,5
2 Напряжение переменного тока, В	от $0,1 \cdot U_{nom}$ до U_{max}
3 Кратковременная доза фликера, %	от 0 до 20
4 Несимметрия напряжения: коэффициенты несимметрии напряжения по обратной и нулевой последовательностям, %	от 0 до 20
5 Гармоники напряжения переменного тока	удвоенные значения, установленные в ГОСТ Р 51317.2.4-2000 для класса 3 электромагнитной обстановки (в части коэффициента искажения синусоидальности кривой напряжения)
6 Интергармоники напряжения переменного тока	удвоенные значения, установленные в ГОСТ Р 51317.2.4-2000 для класса 3 электромагнитной обстановки
7 Микросекундные импульсные помехи	пиковое значение 6 кВ
8 Наносекундные импульсные помехи	пиковое значение 4 кВ

Погрешности измерений ПКЭ модификации КПР-01М-5(150) при изменении влияющих величин в диапазонах, приведенных в таблице 22, находятся в пределах, установленных в таблице 21.

Пределы допускаемых дополнительных погрешностей измерений ПКЭ модификации КПР-01М-5(150) при изменении температуры в диапазоне рабочих температур составляют не более половины предела допускаемых основных погрешностей на каждые 10°C .

Таблица 23 – Общие метрологические и технические характеристики модификации КПР-01М-А

Наименование характеристики	Значение
Номинальное фазное напряжение переменного тока $U_{ном}$, В	57,7; 230
Максимальное значение напряжения переменного тока $U_{макс}$, В	130 при $U_{ном}=57,7$ 300 при $U_{ном}=230$
Номинальный ток $I_{ном}$, А	1; 5
Максимальное значение силы переменного тока при измерении среднеквадратического значения силы переменного тока, А	10 при $I_{ном}=1$; 50 при $I_{ном}=5$;
Максимальное значение силы переменного тока при измерении энергии, А	10
Класс точности при измерении активной электрической энергии	0,5S
Класс точности при измерении реактивной электрической энергии	1
Время начального запуска до начала учета электроэнергии, с	5
Постоянная перевода импульсов в энергию, имп/кВт·ч (имп/квар·ч)	5000 (5000)
Габаритные размеры (длина×высота×ширина), мм, не более	90×75×105
Масса, кг, не более	0,5
Средняя наработка на отказ с учетом технического обслуживания, ч	100 000
Среднее время восстановления работоспособности, ч	1
Средний срок службы, лет	30
Нормальные условия измерений: - температура окружающей среды, °C - относительная влажность воздуха, %	от 15 до +25 от 30 до 80
Рабочие условия измерений: - температура окружающей среды, °C - относительная влажность (при +35 °C и ниже, без конденсации влаги), %, не более	от -40 до +55 95

Таблица 24 – Основные метрологические характеристики модификации КПР-01М-А

Наименование характеристики	Диапазон измерений	Пределы допускаемой погрешности	Примечание
1 Частота основной гармоники напряжения переменного тока f , Гц	от 42,5 до 57,5	±0,01 Гц (Δ)	-
2 Среднеквадратическое значение фазного напряжения, U_A, U_B, U_C , В ¹⁾	$0,1 \cdot U_{ном} \leq U < 0,7 \cdot U_{ном}$ ¹⁾	±0,5 % (δ)	Класс точности 0,2
	$0,7 \cdot U_{ном} \leq U < U_{макс}$	±0,2 % (δ)	
3 Среднеквадратическое значение междуфазного напряжения переменного тока, U_{AB}, U_{BC}, U_{CA} , В	$0,17 \cdot U_{ном} \leq U < 1,21 \cdot U_{ном}$	±0,5 % (δ)	Класс точности 0,2
	$1,21 \cdot U_{ном} \leq U < 1,73 \cdot U_{ном}$	±0,2 % (δ)	
4 Среднеквадратическое значение напряжения переменного тока основной частоты $U_{A(1)}, U_{B(1)}, U_{C(1)}$, прямой, обратной и нулевой последовательности U_1, U_2, U_0 , В	от $0,1 \cdot U_{ном}$ до $U_{макс}$	±0,1 % (γ) ²⁾	-

Продолжение таблицы 24

Наименование характеристики	Диапазон измерений	Пределы допускаемой погрешности	Примечание
5 Среднеквадратическое значение фазной силы переменного тока (с учетом гармоник) I_A, I_B, I_C , среднеквадратическое значение фазной силы переменного тока основной частоты $I_{A(1)}, I_{B(1)}, I_{C(1)}$, среднеквадратическое значение тока прямой, обратной и нулевой последовательности I_1, I_2, I_0, A	$0,01 \cdot I_{\text{ном}} \leq I < 0,5 \cdot I_{\text{ном}}$	$\pm [0,2 + 0,2 \left(\frac{0,5 I_{\text{ном}}}{I} - 1 \right)] \%$ (δ)	
	$0,5 \cdot I_{\text{ном}} \leq I < I_{\text{макс}}$	$\pm 0,2 \% (\delta)$	Класс точности 0,2
6 Коэффициент несимметрии тока по нулевой и обратной последовательности, $K_{0I}, K_{2I}, \%$	от 0 до 50	$\pm 0,15 \% (\Delta)$	$0,1 \cdot I_{\text{ном}} < I < I_{\text{макс}}$
7 Угол фазового сдвига между фазными напряжениями основной частоты $\varphi_{UAB(1)}, \varphi_{UBC(1)}, \varphi_{UCA(1)}, {}^\circ$	от -180 до +180	$\pm 0,2^\circ (\Delta)$	$0,1 \cdot U_{\text{ном}} < U_{(1)} < U_{\text{макс}}$
8 Угол фазового сдвига между фазными токами основной частоты $\varphi_{IAB(1)}, \varphi_{IBC(1)}, \varphi_{ICA(1)}, {}^\circ$	от -180 до +180	$\pm 0,5^\circ (\Delta)$	$0,1 \cdot I_{\text{ном}} < I < I_{\text{макс}}$
9 Угол фазового сдвига между фазным напряжением и фазным током основной частоты $\varphi_{UIA(1)}, \varphi_{UIB(1)}, \varphi_{UIC(1)}$, между напряжением и током прямой, нулевой и обратной последовательности, $\varphi_{U1I}, \varphi_{U0I}, \varphi_{U2I}, {}^\circ$	от -180 до +180	$\pm 5^\circ (\Delta)$	$0,1 \cdot I_{\text{ном}} < I_{(1)} < I_{\text{ном}}$ $0,1 \cdot U_{\text{ном}} < U_{(1)} < U_{\text{макс}}$
		$\pm 1^\circ (\Delta)$	$I_{\text{ном}} < I_{(1)} < I_{\text{макс}}$ $0,1 \cdot U_{\text{ном}} < U_{(1)} < U_{\text{макс}}$
10 Активная электрическая мощность по каждой фазе и трехфазная $P_A, P_B, P_C, P, \text{Вт}$	$0,7 \cdot U_{\text{ном}} < U < U_{\text{макс}}$ $0,05 \cdot I_{\text{ном}} \leq I \leq I_{\text{максэн}}$	$\pm 0,2 \% (\delta)$	Класс точности 0,2S
	$0,7 \cdot U_{\text{ном}} < U < U_{\text{макс}}$ $0,01 \cdot I_{\text{ном}} \leq I \leq 0,05 \cdot I_{\text{ном}}$	$\pm 0,4 \% (\delta)$	
11 Реактивная электрическая мощность по каждой фазе и трехфазная по сумме гармоник $Q_A, Q_B, Q_C, Q, \text{вар}$	$0,7 \cdot U_{\text{ном}} < U < U_{\text{макс}}$ $0,05 \cdot I_{\text{ном}} \leq I \leq I_{\text{максэн}}$	$\pm 0,5 \% (\delta)$	Класс точности 0,5S
	$0,7 \cdot U_{\text{ном}} < U < U_{\text{макс}}$ $0,01 \cdot I_{\text{ном}} \leq I \leq 0,05 \cdot I_{\text{ном}}$	$\pm 0,75 \% (\delta)$	

Окончание таблицы 24

Наименование характеристики	Диапазон измерений	Пределы допускаемой погрешности	Примечание
12 Полная электрическая мощность по каждой фазе и трехфазная $S_A, S_B, S_C, S, B \cdot A$	$0,7 \cdot U_{ном} < U < U_{макс}$ $0,05 \cdot I_{ном} < I < I_{максэн}$	$\pm 0,5\% (\delta)$	Класс точности 0,5
13 Коэффициент мощности фазный и средний $\cos\varphi_A, \cos\varphi_B, \cos\varphi_C, \cos\varphi_{ср}$	от -1,00 до 1,00	$\pm 0,01 (\Delta)$	$0,7 \cdot U_{ном} < U < U_{макс}$ $0,1 \cdot I_{ном} < I < I_{максэн}$ $0,25 \leq \cos\varphi \leq 1,00$
Примечания			
1) при питании только от измерительных цепей нижняя граница диапазона измерений составляет $0,7 \cdot U_{ном}$;			
2) нормирующее значение равно номинальному значению напряжения переменного тока.			

Пределы допускаемых дополнительных погрешностей измерений параметров напряжения переменного тока, силы переменного тока, электрической мощности модификации КПР-01М-А, приведенных в пунктах 2, 5, 10 таблицы 24 при изменении температуры в диапазоне рабочих температур составляют не более половины предела допускаемой основной погрешности на каждые 10°C .

Таблица 25 – Метрологические характеристики при измерении электрической энергии модификации КПР-01М-А

Тип энергии	Диапазон изменения входных параметров		Пределы допускаемой основной относительной погрешности, %	Примечание
	Сила переменного тока	Коэффициент мощности		
1 Активная электрическая энергия по каждой фазе и трехфазная $W_{PA}, W_{PB}, W_{PC}, W_P$	$3 \times (\text{от } 0,01 \cdot I_{ном} \text{ до } 0,05 \cdot I_{ном})$	± 1	$\pm 1,0$	Пределы допускаемых погрешностей соответствуют классу 0,5S по ГОСТ 31819.22-2012, при изменении напряжения от $0,7 \cdot U_{ном}$ до $U_{макс}$
	$3 \times (\text{от } 0,05 \cdot I_{ном} \text{ включ. до } I_{максэн})$		$\pm 0,5$	
	$3 \times (\text{от } 0,02 \cdot I_{ном} \text{ до } 0,10 \cdot I_{ном})$	$\pm 0,5L \text{ и } \pm 0,8C$	$\pm 1,0$	
	$3 \times (\text{от } 0,1 \cdot I_{ном} \text{ включ. до } I_{максэн})$		$\pm 0,6$	
	$3 \times (\text{от } 0,1 \cdot I_{ном} \text{ до } I_{максэн})$	$\pm 0,25L \text{ и } \pm 0,50C$	$\pm 1,0$	
	$1 \times (\text{от } 0,05 \cdot I_{ном} \text{ до } I_{максэн})$	± 1	$\pm 0,6$	
	$1 \times (\text{от } 0,1 \cdot I_{ном} \text{ до } I_{максэн})$	$\pm 0,5L$	$\pm 1,0$	
2 Реактивная энергия по каждой фазе и трехфазная $W_{QA}, W_{QB}, W_{QC}, W_Q$	$3 \times (\text{от } 0,02 \cdot I_{ном} \text{ до } 0,05 \cdot I_{ном})$	± 1	$\pm 1,5$	Пределы допускаемых погрешностей соответствуют классу 1 по ГОСТ 31819.23-2012, при изменении напряжения от $0,7 \cdot U_{ном}$ до $U_{макс}$
	$3 \times (\text{от } 0,05 \cdot I_{ном} \text{ включ. до } I_{максэн})$		$\pm 1,0$	
	$3 \times (\text{от } 0,05 \cdot I_{ном} \text{ до } 0,10 \cdot I_{ном})$	$\pm 0,5L \text{ и } \pm 0,5C$	$\pm 1,5$	
	$3 \times (\text{от } 0,1 \cdot I_{ном} \text{ включ. до } I_{максэн})$		$\pm 1,0$	
	$3 \times (\text{от } 0,1 \cdot I_{ном} \text{ до } I_{максэн})$	$\pm 0,25L \text{ и } \pm 0,25C$	$\pm 1,5$	
	$1 \times (\text{от } 0,05 \cdot I_{ном} \text{ до } I_{максэн})$	± 1	$\pm 1,5$	
	$1 \times (\text{от } 0,1 \cdot I_{ном} \text{ до } I_{максэн})$	$\pm 0,5L \text{ и } \pm 0,5C$	$\pm 1,5$	

Измеренные значения активной (реактивной) фазной мощности при стартовом токе, номинальном напряжении и $\cos\varphi = \pm 1$ ($\sin\varphi = \pm 1$) соответствуют данным, приведенным в таблице 26.

Таблица 26 – Допустимые значения электрической мощности при стартовом токе для модификации КПР-01М-А

Электрическая мощность	Значение стартового тока, А	$U_{ном}$, В	$I_{ном}$, А	Коэффициент мощности	Допустимое значение фазной электрической мощности, Вт (вар)
Активная	$0,001 \cdot I_{ном}$	57,7	5	1	не менее +0,14
		230	5	1	не менее +0,58
		57,7	1	1	не менее +0,03
		230	1	1	не менее +0,12
		57,7	5	-1	не более -0,14
		230	5	-1	не более -0,58
		57,7	1	-1	не более -0,03
		230	1	-1	не более -0,12
Реактивная	$0,002 \cdot I_{ном}$	57,7	5	1	не менее +0,29
		230	5	1	не менее +1,15
		57,7	1	1	не менее +0,06
		230	1	1	не менее +0,23
		57,7	5	-1	не более -0,29
		230	5	-1	не более -1,15
		57,7	1	-1	не более -0,06
		230	1	-1	не более -0,23

После приложения напряжения переменного тока, равного $1,15 \cdot U_{ном}$ и при отсутствии тока в цепях тока абсолютные значения измеренных фазных мощностей равны нулю (отсутствие самохода).

Таблица 27 – Пределы допускаемых дополнительных погрешностей измерений активной и реактивной электрической энергии модификации КПР-01М-А

Влияющая величина	Диапазон изменения			Пределы допускаемой дополнительной относительной погрешности измерений	
	влияющей величины	силы переменного тока	коэффициента мощности	активной электрической энергии	реактивной электрической энергии
1 Температура окружающей среды, °C	от -40 до +55	от $0,05 \cdot I_{ном}$ до $I_{максэн}$	1	$\pm 0,03 \% / ^\circ C$	$\pm 0,05 \% / ^\circ C$
		от $0,1 \cdot I_{ном}$ до $I_{максэн}$	0,5L	$\pm 0,05 \% / ^\circ C$	$\pm 0,07 \% / ^\circ C$
2 Частота сети, Гц	от 49 до 51	от $0,05 \cdot I_{ном}$ до $I_{максэн}$	1	$\pm 0,2 \%$	$\pm 1,5 \%$
		от $0,1 \cdot I_{ном}$ до $I_{максэн}$	0,5L	$\pm 0,2 \%$	$\pm 1,5 \%$
3 Обратный порядок следования фаз	–	$0,1 \cdot I_{ном}$	1	$\pm 0,1 \%$	–
4 Несимметрия напряжения	–	$I_{ном}$	1	$\pm 1,0 \%$	–

Продолжение таблицы 27

Влияющая величина	Диапазон изменения			Пределы допускаемой дополнительной относительной погрешности измерений	
	влияющей величины	силы переменного тока	коэффициента мощности	активной электрической энергии	реактивной электрической энергии
5 Несимметрия напряжения	—	$I_{ном}$	1	±1,0 %	—
6 Напряжение цепи питания, В	в пределах допустимого диапазона	$0,01 \cdot I_{ном}$	1	±0,1 %	—
7 Гармоники в цепях тока и напряжения	пятая гармоника в сигнале напряжения переменного тока значением $0,1 \cdot U_{ном}$ и в сигнале силы переменного тока значением $0,4 \cdot I_{(1)}$.	$0,5 \cdot I_{макс}$	1	±0,5 %	—
8 Субгармоники в цепи переменного тока	форма сигнала с субгармониками в соответствии с ГОСТ 31819.22-2012	$0,5 \cdot I_{ном}$	1	±1,5 %	—
9 Постоянная магнитная индукция внешнего происхождения	значение магнитодвижущей силы 1000 ампервитков	$I_{ном}$	1	±2,0 %	±2,0 %
10 Переменная магнитная индукция внешнего происхождения, мТл	0,5	$I_{ном}$	1	±1,0 %	±2,0 %
11 Радиочастотные электромагнитные поля, В/м	10	$I_{ном}$	1	±2,0 %	±2,0 %
12 Функционирование вспомогательных частей	—	$0,01 \cdot I_{ном}$	1	±0,1 %	±0,5 %
13 Кондуктивные помехи, наводимые радиочастотными полями	полоса частот - от 150 кГц до 80 МГц; уровень напряжения - 10 В	$I_{ном}$	1	±2,0 %	±2,0 %

Окончание таблицы 27

Влияющая величина	Диапазон изменения			Пределы допускаемой дополнительной относительной погрешности измерений	
	влияющей величины	силы переменного тока	коэффициента мощности	активной электрической энергии	реактивной электрической энергии
14 Наносекундные импульсные помехи	—	$I_{ном}$	1	±2,0 %	±4,0 %
15 Колебательные затухающие помехи	—	$I_{ном}$	1	±2,0 %	±2,0 %

Изменение погрешности измерений активной и реактивной электрической энергии модификации КПР-01М-А после влияния кратковременных перегрузок током не превышает значений указанных в таблице 28.

Таблица 28 – Кратковременные перегрузки входным током модификации КПР-01М-А

Сила переменного тока, протекающего в цепях тока, А	Длительность воздействия, с	Предел изменения погрешности, %	
		активной электрической энергии	Реактивной электрической энергии
$I_{макс}$	30		
$20 \cdot I_{максэн}$	0,5	±0,05 %	±0,5 %

Таблица 29 – Метрологические характеристики встроенных часов модификации КПР-01М-А

Наименование характеристики	Значение
Пределы допускаемой абсолютной погрешности суточного хода встроенных часов при отсутствии синхронизации от внешнего источника, с (в сутки в диапазоне рабочих температур)	±1
Пределы допускаемой абсолютной погрешности установки времени встроенных часов при синхронизации от внешнего источника, мс	±1

Таблица 30 – Метрологические характеристики при измерении ПКЭ модификации КПР-01М-А

Наименование характеристики	Диапазон измерений	Пределы допускаемой основной погрешности:	
		Δ -абсолютной,	γ - приведенной
1 Частота напряжения переменного тока f , Гц	от 42,5 до 57,5	±0,01 Гц (Δ)	±0,01 Гц (Δ)
2 Отклонение частоты переменного тока Δf , Гц	±7,5	±0,01 Гц (Δ)	±0,01 Гц (Δ)
3 Отрицательное отклонение напряжения переменного тока $\delta U_{(-)A}, \delta U_{(-)B}, \delta U_{(-)C}$, %	от 0 до 90 ¹⁾	±0,1 % (Δ)	±0,1 % (Δ)
4 Положительное отклонение напряжения переменного тока $\delta U_{(+)}A, \delta U_{(+)}B, \delta U_{(+)}C$, %	от 0 до 100	±0,1 % (Δ)	–
	от 0 до 30	–	±0,1 % (Δ)

Окончание таблицы 30

Наименование характеристики	Диапазон измерений	Пределы допускаемой основной погрешности: Δ-абсолютной, γ - приведенной	
		U_{nom57}	U_{nom230}
5 Установившееся отклонение напряжения переменного тока $\delta U_{yA}, \delta U_{yB}, \delta U_{yC}, \%$	±30	±0,2 % (Δ)	±0,2 % (Δ)
6 Коэффициент несимметрии напряжений по нулевой и обратной последовательности, $K_{0U}, K_{2U}, \%$	от 0 до 20	±0,15 % (Δ)	±0,15 % (Δ)
7 Длительность провала напряжения переменного тока $\Delta t_{prov}, \text{с}$	от $1T^{1), 2)}$	± $1T (\Delta)$	± $1T (\Delta)$
8 Глубина провала напряжения переменного тока $\delta U_{prov}, \%$	от 0 до $100^{1)}$	±0,2 % (Δ)	±0,2 % (Δ)
9 Остаточное напряжение при провале напряжения переменного тока $U_{prov}, \text{В}$	от 0 до $U_{nom}^{1)}$	±0,2 % (γ)	±0,2 % (γ)
10 Длительность прерывания напряжения переменного тока $\Delta t_{nrep}, \text{с}$	от $1T^{2), 3)}$	± $1T^2 (\Delta)$	± $1T^2 (\Delta)$
11 Глубина прерывания напряжения переменного тока $\delta U_{nrep}, \%$	от 0 до $100^{3)}$	±0,2 % (Δ)	±0,2 % (Δ)
12 Остаточное напряжение при прерывании напряжения переменного тока $U_{nrep}, \text{В}$	от 0 до $0,1 \cdot U_{nom}^{3)}$	±0,2 % (γ)	±0,2 % (γ)
13 Длительность временного перенапряжения $\Delta t_{nep}, \text{с}$	от $1T^2$	± $1T^2 (\Delta)$	± $1T^2 (\Delta)$
14 Коэффициент временного перенапряжения K_{nep}	от 1 до 2	±0,002 (Δ)	—
	от 1 до 1,3	—	±0,002 % (Δ)
15 Максимальное напряжение при перенапряжении $U_{nep}, \text{В}$	от U_{nom} до $2 \cdot U_{nom}$	±0,2 % (γ)	—
	от U_{nom} до $1,3 \cdot U_{nom}$	—	±0,2 % (γ)

Таблица 31 – Диапазоны изменения влияющих величин при измерении ПКЭ

Влияющая величина	Диапазон изменения
1 Частота напряжения переменного тока, Гц	от 42,5 до 57,5
1 Напряжение переменного тока, В *	от $0,1 \cdot U_{nom}$ до U_{max}
2 Кратковременная доза фликера, %	от 0 до 20
3 Несимметрия напряжения: коэффициенты несимметрии напряжения по обратной и нулевой последовательностям, %	от 0 до 20
4 Гармоники напряжения переменного тока	удвоенные значения, установленные в ГОСТ Р 51317.2.4-2000 для класса 3 электромагнитной обстановки (в части коэффициента искажения синусоидальности кривой напряжения)
5 Интергармоники напряжения переменного тока	удвоенные значения, установленные в ГОСТ Р 51317.2.4-2000 для класса 3 электромагнитной обстановки

Окончание таблицы 31

Влияющая величина	Диапазон изменения
6 Микросекундные импульсные помехи	пиковое значение 6 кВ
7 Наносекундные импульсные помехи	пиковое значение 4 кВ
Примечание - *- При питании только от измерительных цепей нижняя граница диапазона составляет $0,7 \cdot U_{nom}$	

Погрешности измерений ПКЭ при изменении влияющих величин в диапазонах, приведенных в таблице 31, находятся в пределах, установленных в таблице 30.

Пределы допускаемых дополнительных погрешностей измерений ПКЭ модификации КПР-01М-А при изменении температуры в диапазоне рабочих температур составляют не более половины предела допускаемых основных погрешностей на каждые 10 °C.

Таблица 32 – Общие метрологические и технические характеристики модификации КПР-01М-Б

Наименование характеристики	Значение
Номинальное фазное напряжение переменного тока U_{nom} , В	57,7; 230
Максимальное значение напряжения переменного тока U_{max} , В	130 при $U_{nom}=57,7$ 300 при $U_{nom}=230$
Номинальный ток I_{nom} , А	1; 5
Максимальное значение силы переменного тока при измерении среднеквадратического значения силы переменного тока, А	10 при $I_{nom}=1$; 50 при $I_{nom}=5$;
Максимальное значение тока при измерении электрической энергии, А	10
Класс точности при измерении активной электрической энергии	0,2S
Класс точности при измерении реактивной электрической энергии	0,5
Время начального запуска до начала учета электроэнергии, с	5
Постоянная перевода импульсов в энергию, имп/кВт·ч (имп/квар·ч)	5000 (5000)
Габаритные размеры (длина×высота×ширина), мм, не более	280×175×79
Масса, кг, не более	1,5
Средняя наработка на отказ с учетом технического обслуживания, ч	100 000
Среднее время восстановления работоспособности, ч	1
Средний срок службы, лет	30
Нормальные условия измерений: - температура окружающей среды, °C - относительная влажность воздуха, %	от 15 до +25 от 30 до 80
Рабочие условия измерений: - температура окружающей среды, °C - относительная влажность (при +35 °C и ниже, без конденсации влаги), %, не более	от -40 до +55 95

Таблица 33 – Основные погрешности модификации КПР-01М-Б

Наименование характеристики	Диапазон измерений	Пределы допускаемой погрешности	Примечание
1 Частота основной гармоники напряжения переменного тока f , Гц	от 42,5 до 57,5	±0,01 Гц (Δ)	-

Продолжение таблицы 33

Наименование характеристики	Диапазон измерений	Пределы допускаемой погрешности	Примечание
2 Среднеквадратическое значение фазного напряжения переменного тока, U_A , U_B , U_C , В	$0,1 \cdot U_{\text{ном}} \leq U < 0,7 \cdot U_{\text{ном}}$ ¹⁾	$\pm 0,5 \% (\delta)$	Класс точности 0,2
	$0,7 \cdot U_{\text{ном}} \leq U < U_{\text{макс}}$	$\pm 0,2 \% (\delta)$	
3 Среднеквадратическое значение междуфазного напряжения переменного тока, U_{AB} , U_{BC} , U_{CA} , В	$0,17 \cdot U_{\text{ном}} \leq U < 1,21 \cdot U_{\text{ном}}$	$\pm 0,5 \% (\delta)$	Класс точности 0,2
	$1,21 \cdot U_{\text{ном}} \leq U < 1,73 \cdot U_{\text{макс}}$	$\pm 0,2 \% (\delta)$	
4 Среднеквадратическое значение напряжения переменного тока основной частоты $U_{A(1)}$, $U_{B(1)}$, $U_{C(1)}$, прямой, обратной и нулевой последовательности U_1 , U_2 , U_0 , В	от $0,1 \cdot U_{\text{ном}}$ до $U_{\text{макс}}$	$\pm 0,1 \% (\gamma)$ ²⁾	-
5 Среднеквадратическое значение n-й гармонической составляющей фазного напряжения переменного тока $U_{A(n)}$, $U_{B(n)}$, $U_{C(n)}$, В ³⁾	$0 \leq U_{(n)} < 0,01 \cdot U_{\text{ном}}$	$\pm 0,0005 \cdot U_{\text{ном}}$ В (Δ)	$0,1 \cdot U_{\text{ном}} < U_{(1)} < U_{\text{макс}}$ для n от 2 до 50
	$0,01 \cdot U_{\text{ном}} \leq U_{(n)} < 0,5 \cdot U_{\text{ном}}$	$\pm 5,0 \% (\delta)$	
6 Среднеквадратическое значение m-й интергармонической составляющей фазного напряжения переменного тока $U_{A\text{isg}(m)}$, $U_{B\text{isg}(m)}$, $U_{C\text{isg}(m)}$, % ³⁾	$0 \leq U_{\text{isg}(m)} < 0,01 \cdot U_{\text{ном}}$	$\pm 0,0005 \cdot U_{\text{ном}}$ (Δ)	$0,1 \cdot U_{\text{ном}} < U_{(1)} < U_{\text{макс}}$ для m от 0 до 49
	$0,01 \cdot U_{\text{ном}} \leq U_{\text{isg}(m)} < 0,5 \cdot U_{\text{ном}}$	$\pm 5,0 \% (\delta)$	
7 Среднеквадратическое значение фазной силы переменного тока (с учетом гармоник) I_A , I_B , I_C , среднеквадратическое значение силы переменного тока нейтрали I_N , среднеквадратическое значение фазной силы переменного тока основной частоты $I_{A(1)}$, $I_{B(1)}$, $I_{C(1)}$, среднеквадратическое значение силы переменного тока прямой, обратной и нулевой последовательности I_1 , I_2 , I_0 , А	$0,01 \cdot I_{\text{ном}} \leq I < 0,5 \cdot I_{\text{ном}}$	$\pm [0,2 + 0,2 \left(\frac{0,5 I_{\text{ном}}}{I} - 1 \right)] \%$ (δ)	-
	$0,5 \cdot I_{\text{ном}} \leq I < I_{\text{макс}}$	$0,2 \% (\delta)$	
8 Коэффициент несимметрии тока по нулевой и обратной последовательности, K_{0I} , K_{2I} , %	от 0 до 50	$\pm 0,15 \% (\Delta)$	$0,1 \cdot I_{\text{ном}} < I < I_{\text{макс}}$

Продолжение таблицы 33

Наименование характеристики	Диапазон измерений	Пределы допускаемой погрешности	Примечание
9 Среднеквадратическое значение n-й гармонической составляющей фазного тока $I_{A(n)}$, $I_{B(n)}$, $I_{C(n)}$, А ⁴⁾	$0 < I_{(n)} < 0,03 \cdot I_{\text{ном}}$	$\pm 0,0015 \cdot I_{\text{ном}} (\Delta)$	для n от 2 до 50, $0,1 \cdot I_{\text{ном}} < I_{(1)} < I_{\text{макс}}$
	$0,03 \leq I_{(n)} < I_{\text{ном}}$	5,0 % (δ)	
10 Коэффициент n-й гармонической составляющей фазного тока $K_{IA(n)}$, $K_{IB(n)}$, $K_{IC(n)}$, %	$0 \leq K_{I(n)} < 3$	$\pm 0,15 \% (\Delta)$	для n от 2 до 50, $0,1 \cdot I_{\text{ном}} < I_{(1)} < I_{\text{макс}}$
	$3 \leq K_{I(n)} < 50$	5,0 % (δ)	
11 Коэффициент искажения синусоидальности кривой тока K_{IA} , K_{IB} , K_{IC} , %	$0 \leq K_I < 3$	$\pm 0,15 \% (\Delta)$	
	$3 \leq K_I < 60$	$\pm 5 \% (\delta)$	
12 Угол фазового сдвига между фазными напряжениями основной частоты $\varphi_{UAB(I)}$, $\varphi_{UBC(I)}$, $\varphi_{UCA(I)}$, °	от -180 до +180	$\pm 0,2^\circ (\Delta)$	$0,1 \cdot U_{\text{ном}} < U_{(1)} < U_{\text{макс}}$
13 Угол фазового сдвига между фазными токами основной частоты $\varphi_{IAB(I)}$, $\varphi_{IBC(I)}$, $\varphi_{ICA(I)}$, °	от -180 до +180	$\pm 0,5^\circ (\Delta)$	$0,1 \cdot I_{\text{ном}} < I < I_{\text{макс}}$
14 Угол фазового сдвига между фазным напряжением и фазным током основной частоты $\varphi_{UIA(I)}$, $\varphi_{UIB(I)}$, $\varphi_{UIC(I)}$, между напряжением и током прямой, нулевой и обратной последовательности, φ_{UIII} , φ_{U010} , φ_{U212} , °	от -180 до +180	$\pm 5^\circ (\Delta)$	$0,1 \cdot I_{\text{ном}} < I < I_{\text{ном}}$ $0,1 \cdot U_{\text{ном}} < U_{(1)} < U_{\text{макс}}$
		$\pm 1^\circ (\Delta)$	$I_{\text{ном}} < I_{(1)} < I_{\text{макс}}$ $0,1 \cdot U_{\text{ном}} < U_{(1)} < U_{\text{макс}}$
15 Угол фазового сдвига между напряжением и током n-й гармонической составляющей $\varphi_{UIA(n)}$, $\varphi_{UIB(n)}$, $\varphi_{UIC(n)}$, °	от -180 до +180	$\pm 5^\circ (\Delta)$	$0,5 \cdot I_{\text{ном}} \leq I < I_{\text{макс эн}}$ $K_{I(n)} \geq 5 \%$, $K_{U(n)} \geq 5 \%$
		$\pm 10^\circ (\Delta)$	$0,5 \cdot I_{\text{ном}} < I < I_{\text{макс эн}}$ $1 \% \leq K_{I(n)} < 5 \%$, $1 \% \leq K_{U(n)} < 5 \%$
		$\pm 10^\circ (\Delta)$	$0,1 \cdot I_{\text{ном}} < I < 0,5 \cdot I_{\text{ном}}$, $K_{I(n)} \geq 5 \%$, $K_{U(n)} \geq 5 \%$
16 Активная электрическая мощность по каждой фазе и трехфазная P_A , P_B , P_C , P , основной частоты по каждой фазе и трехфазная $P_{A(I)}$, $P_{B(I)}$, $P_{C(I)}$, $P_{(I)}$, Вт	$0,7 \cdot U_{\text{ном}} < U < U_{\text{макс}}$ $0,05 \cdot I_{\text{ном}} \leq I \leq I_{\text{макс эн}}$	$\pm 0,2 \% (\delta)$	Класс точности 0,2S
	$0,7 \cdot U_{\text{ном}} < U < U_{\text{макс}}$ $0,01 \cdot I_{\text{ном}} \leq I < 0,05 \cdot I_{\text{ном}}$	$\pm 0,4 \% (\delta)$	

Продолжение таблицы 33

Наименование характеристики	Диапазон измерений	Пределы допускаемой погрешности	Примечание
17 Активная электрическая мощность n-й гармоники по каждой фазе и по сумме фаз $P_{A(n)}, P_{B(n)}, P_{C(n)}, P_{(n)}$, Вт	$0,7 \cdot U_{ном} < U_{(1)} < U_{макс}$ $0,05 \cdot U_{(1)} < U_{(n)} < 0,5 \cdot U_{(1)}$ $0,2 \cdot I_{ном} < I_{(1)} < I_{максэн}$ $0,05 \cdot I_{(1)} < I_{(n)} < 0,5 \cdot I_{(1)}$ $0,5 \leq \cos\varphi \leq 1,0$	$\pm 5 \% (\delta)$	-
	$0,7 \cdot U_{ном} < U_{(1)} < U_{макс}$ $0,05 \cdot U_{(1)} < U_{(n)} < 0,5 \cdot U_{(1)}$ $0,1 \cdot I_{ном} < I_{(1)} < I_{максэн}$ $0,05 \cdot I_{(1)} < I_{(n)} < 0,5 \cdot I_{(1)}$ $0,25 \leq \cos\varphi \leq 0,5$	$\pm 10 \% (\delta)$	-
18 Реактивная электрическая мощность по каждой фазе и трехфазная по сумме гармоник Q_A, Q_B, Q_C, Q , основной частоты по каждой фазе и трехфазная $Q_{A(I)}, Q_{B(I)}, Q_{C(I)}, Q_{(I)}$, вар	$0,7 \cdot U_{ном} < U < U_{макс}$ $0,05 \cdot I_{ном} \leq I \leq I_{максэн}$	$\pm 0,5 \% (\delta)$	Класс точности 0,5S
	$0,7 \cdot U_{ном} < U < U_{макс}$ $0,01 \cdot I_{ном} \leq I \leq 0,05 \cdot I_{ном}$	$\pm 0,75 \% (\delta)$	
19 Реактивная электрическая мощность n-й гармоники по каждой фазе и трехфазная $Q_{A(n)}, Q_{B(n)}, Q_{C(n)}, Q_{(n)}$, вар	$0,7 \cdot U_{ном} < U_{(1)} < U_{макс}$ $0,05 \cdot U_{(1)} < U_{(n)} < 0,5 \cdot U_{(1)}$ $0,2 \cdot I_{ном} < I_{(1)} < I_{максэн}$ $0,05 \cdot I_{(1)} < I_{(n)} < 0,5 \cdot I_{(1)}$ $0,5 \leq \sin\varphi \leq 1,0$	$\pm 5 \% (\delta)$	-
	$0,7 \cdot U_{ном} < U_{(1)} < U_{макс}$ $0,05 \cdot U_{(1)} < U_{(n)} < 0,5 \cdot U_{(1)}$ $0,2 \cdot I_{ном} < I_{(1)} < I_{максэн}$ $0,05 \cdot I_{(1)} < I_{(n)} < 0,5 \cdot I_{(1)}$ $0,25 \leq \sin\varphi < 0,50$	$\pm 10 \% (\delta)$	-
20 Полная электрическая мощность, В·А: - по каждой фазе и трехфазная S_A, S_B, S_C, S , - основной частоты по каждой фазе и трехфазная $S_{A(I)}, S_{B(I)}, S_{C(I)}, S_{(I)}$.	$0,7 \cdot U_{ном} < U < U_{макс}$ $0,05 \cdot I_{ном} \leq I \leq I_{максэн}$	$\pm 0,5 \% (\delta)$	Класс точности 0,5
21 Полная электрическая мощность n-й гармоники по каждой фазе и трехфазная $S_{A(n)}, S_{B(n)}, S_{C(n)}, S_{(n)}$, В·А	$0,7 \cdot U_{ном} < U_{(1)} < U_{макс}$ $0,01 \cdot U_{(1)} < U_{(n)} < 0,5 \cdot U_{(1)}$ $0,1 \cdot I_{ном} < I_{(1)} < I_{максэн}$ $0,01 \cdot I_{(1)} < I_{(n)} < 0,5 \cdot I_{(1)}$	$\pm 5 \% (\delta)$	-
22 Коэффициент мощности фазный и средний $\cos\varphi_A, \cos\varphi_B, \cos\varphi_C, \cos\varphi_{cp}$	от -1,00 до 1,00	$\pm 0,01 (\Delta)$	$0,7 \cdot U_{ном} < U < U_{макс}$ $0,1 \cdot I_{ном} \leq I \leq I_{максэн}$ $0,25 \leq \cos\varphi \leq 1,00$
<p>Примечания</p> <p>¹⁾ при питании только от измерительных цепей нижняя граница диапазона измерений составляет $0,7 \cdot U_{ном}$;</p> <p>²⁾ нормирующее значение равно номинальному значению напряжения переменного тока;</p> <p>³⁾ действующее значение фазного напряжения с учетом гармоник и интергармоник составляет не более максимального значения $U_{макс}$, приведенного в таблице 32;</p> <p>⁴⁾ действующее значение фазного тока с учетом гармоник и интергармоник составляет не более максимального значения $I_{макс}$, приведенного в таблице 32.</p>			

Пределы дополнительных погрешностей измерений параметров напряжения, силы переменного тока модификации КПР-01М-Б, приведенных в пунктах 2, 7 таблицы 33, при изменении температуры в диапазоне рабочих температур составляют не более половины предела допускаемой основной погрешности на каждые 10 °C.

Таблица 34 – Метрологические характеристики при измерении энергии модификации КПР-01М-Б

Тип энергии	Диапазон изменения входных параметров		Пределы допускаемой основной относительной погрешности, %	Примечание
	Сила переменного тока, А	Коэффициент мощности		
Активная электрическая энергия по каждой фазе и трехфазная $W_{PA}, W_{PB}, W_{PC}, W_P$	3 × (от 0,01 · $I_{ном}$ до 0,05 · $I_{ном}$)	±1	±0,4	Пределы допускаемых погрешностей соответствуют классу 0,2S по ГОСТ 31819.22-2012, при изменении напряжения от 0,7 · $U_{ном}$ до $U_{макс}$
	3 × (от 0,05 · $I_{ном}$ включ. до $I_{максЭН}$)		±0,2	
	3 × (от 0,02 · $I_{ном}$ до 0,10 · $I_{ном}$)	±0,5L и ±0,8C	±0,5	
	3 × (от 0,1 · $I_{ном}$ включ. до $I_{максЭН}$)		±0,3	
	3 × (от 0,1 · $I_{ном}$ до $I_{максЭН}$)	±0,25L и ±0,5C	±0,5	
	1 × (от 0,05 · $I_{ном}$ до $I_{максЭН}$)		±0,3	
	1 × (от 0,1 · $I_{ном}$ до $I_{максЭН}$)	±0,5L	±0,4	
Реактивная электрическая энергия по каждой фазе и трехфазная $W_{QA}, W_{QB}, W_{QC}, W_Q$	3 × (от 0,02 · $I_{ном}$ до 0,05 · $I_{ном}$)	±1	±0,75	Пределы допускаемых погрешностей соответствуют ½ пределов класса 1 по ГОСТ 31819.23-2012, при изменении напряжения от 0,7 · $U_{ном}$ до $U_{макс}$
	3 × (от 0,05 · $I_{ном}$ включ. до $I_{максЭН}$)		±0,5	
	3 × (от 0,05 · $I_{ном}$ до 0,10 · $I_{ном}$)	±0,5L и ±0,5C	±0,75	
	3 × (от 0,1 · $I_{ном}$ включ. до $I_{максЭН}$)		±0,5	
	3 × (от 0,1 · $I_{ном}$ до $I_{максЭН}$)	±0,25L и ±0,25C	±0,75	
	1 × (от 0,05 · $I_{ном}$ до $I_{максЭН}$)		±0,75	
	1 × (от 0,1 · $I_{ном}$ до $I_{максЭН}$)	±0,5L и ±0,5C	±0,75	

Измеренные значения активной (реактивной) фазной электрической мощности при стартовом токе, номинальном напряжении и $\cos \varphi = \pm 1$ ($\sin \varphi = \pm 1$) соответствуют данным, приведенным в таблице 35.

Таблица 35 – Допустимые значения мощности при стартовом токе для модификации КПР-01М-Б

Значение стартового тока, А	$I_{ном}$, А	$U_{ном}$, В	Коэффициент мощности	Допустимое значение фазной активной (реактивной) электрической мощности, Вт (вар)
0,001 · $I_{ном}$	1	57,7	1	не менее +0,03
	5	57,7	1	не менее +0,14
	1	230	1	не менее +0,12
	5	230	1	не менее +0,58
	1	57,7	-1	не более -0,03
	5	57,7	-1	не более -0,14
	1	230	-1	не более -0,12
	5	230	-1	не более -0,58

После приложения напряжения переменного тока, равного $1,15 \cdot U_{ном}$ и при отсутствии тока в цепях тока абсолютные значения измеренных фазных мощностей равны нулю (отсутствие самохода).

Таблица 36 – Пределы допускаемых дополнительных погрешностей измерений активной и реактивной электрической энергии модификации КПР-01М-Б

Влияющая величина	Диапазон изменения			Пределы допускаемой дополнительной относительной погрешности измерений	
	влияющей величины	силы переменного тока	коэффициента мощности	активной электрической энергии	реактивной электрической энергии
1 Температура окружающей среды, °C	от -40 до +55	от $0,05 \cdot I_{ном}$ до $I_{максЭН}$	1	$\pm 0,01 \% / ^\circ C$	$\pm 0,025 \% / ^\circ C$
		от $0,1 \cdot I_{ном}$ до $I_{макс}$	0,5L	$\pm 0,02 \% / ^\circ C$	$\pm 0,035 \% / ^\circ C$
2 Частота сети, Гц	от 49 до 51	от $0,05 \cdot I_{ном}$ до $I_{максЭН}$	1	$\pm 0,1 \%$	$\pm 0,75 \%$
		от $0,1 \cdot I_{ном}$ до $I_{максЭН}$	0,5L	$\pm 0,1 \%$	$\pm 0,75 \%$
3 Обратный порядок следования фаз	–	$0,1 \cdot I_{ном}$	1	$\pm 0,05 \%$	–
4 Несимметрия напряжения	–	$I_{ном}$	1	$\pm 0,5 \%$	–
5 Напряжение цепи питания, В	в пределах допустимого диапазона	$0,01 \cdot I_{ном}$	1	$\pm 0,05 \%$	–
6 Гармоники в цепях тока и напряжения	пятая гармоника в сигнале напряжения значением $0,1U_{ном}$ и в сигнале тока значением $0,4I_{(1)}$.	$0,5 \cdot I_{макс}$	1	$\pm 0,4 \%$	–
7 Субгармоники в цепи переменного тока	форма сигнала с субгармониками в соответствии с ГОСТ 31819.22	$0,5 \cdot I_{ном}$	1	$\pm 0,6 \%$	–
8 Постоянная магнитная индукция внешнего происхождения	значение магнитодвижущей силы 1000 ампер-витков	$I_{ном}$	1	$\pm 2,0 \%$	$\pm 1,0 \%$
9 Переменная магнитная индукция внешнего происхождения, МТл	0,5	$I_{ном}$	1	$\pm 0,5 \%$	$\pm 1,0 \%$
10 Радиочастотные электромагнитные поля, В/м	10	$I_{ном}$	1	$\pm 1,0 \%$	$\pm 1,0 \%$
11 Функционирование вспомогательных частей	–	$0,01 \cdot I_{ном}$	1	$\pm 0,05 \%$	$\pm 0,25 \%$
12 Кондуктивные помехи, наводимые радиочастотными полями	полоса частот - от 150 кГц до 80 МГц; уровень напряжения - 10 В	$I_{ном}$	1	$\pm 1,0 \%$	$\pm 1,0 \%$
13 Наносекундные импульсные помехи	–	$I_{ном}$	1	$\pm 1,0 \%$	$\pm 2,0 \%$

Окончание таблицы 36

Влияющая величина	Диапазон изменения			Пределы допускаемой дополнительной относительной погрешности измерений	
	влияющей величины	силы переменного тока	коэффициента мощности	активной электрической энергии	реактивной электрической энергии
14 Колебательные затухающие помехи	–	I_{nom}	1	±1,0 %	±1,0 %

Изменение погрешности измерений активной и реактивной электрической энергии модификации КПР-01М-Б после влияния кратковременных перегрузок током не превышает значений, указанных в таблице 37.

Таблица 37 – Кратковременные перегрузки входным током модификации КПР-01М-Б

Сила переменного тока, протекающего в цепях тока, А	Длительность воздействия, с	Пределы изменения погрешности, %	
		активной электрической энергии	реактивной электрической энергии
I_{max}	30	±0,05 %	±0,25 %
$20 \cdot I_{max\text{эн}}$	0,5		

Таблица 38 – Метрологические характеристики встроенных часов модификации КПР-01М-Б

Наименование характеристики	Значение
Пределы допускаемой абсолютной погрешности суточного хода встроенных часов при отсутствии синхронизации от внешнего источника, с (в сутки в диапазоне рабочих температур)	±1
Пределы допускаемой абсолютной погрешности установки времени встроенных часов при синхронизации от внешнего источника, мс	±1

Таблица 39 – Метрологические характеристики при измерении ПКЭ модификации КПР-01М-Б

Наименование характеристики	Диапазон измерений	Пределы допускаемой основной погрешности:	
		U_{nom57}	U_{nom230}
1 Частота напряжения переменного тока f , Гц	от 42,5 до 57,5	±0,01 Гц (Δ)	±0,01 Гц (Δ)
2 Отклонение частоты переменного тока Δf , Гц	±7,5	±0,01 Гц (Δ)	±0,01 Гц (Δ)
3 Отрицательное отклонение напряжения переменного тока $\delta U_{(-)A}, \delta U_{(-)B}, \delta U_{(-)C}$, %	от 0 до 90 ¹⁾	±0,1 % (Δ)	±0,1 % (Δ)
4 Положительное отклонение напряжения переменного тока $\delta U_{(+)}A, \delta U_{(+)}B, \delta U_{(+)}C$, %	от 0 до 100	±0,1 % (Δ)	–
	от 0 до 30	–	±0,1 % (Δ)
5 Установившееся отклонение напряжения переменного тока $\delta U_{yA}, \delta U_{yB}, \delta U_{yC}$, %	±30	±0,2 % (Δ)	±0,2 % (Δ)

Продолжение таблицы 39

Наименование характеристики	Диапазон измерений	Пределы допускаемой основной погрешности: Δ - абсолютной, δ - относительной γ - приведенной	
		$U_{\text{ном}57}$	$U_{\text{ном}230}$
6 Коэффициент несимметрии напряжений по нулевой и обратной последовательности, K_{0U}, K_{2U} , %	от 0 до 20	±0,15 % (Δ)	±0,15 % (Δ)
7 Коэффициент n-й гармонической составляющей фазного напряжения переменного тока $K_{UA(n)}, K_{UB(n)}, K_{UC(n)}$ (для n от 2 до 50), %	$0 \leq K_U < 1,00$	±0,05 % (Δ)	±0,05 % (Δ)
	$1 \leq K_U < 50$	±5,0 % (δ)	±5,0 % (δ)
8 Коэффициент искажения синусоидальности кривой напряжения переменного тока K_{UA}, K_{UB}, K_{UC} , %	$0 \leq K_U < 1$	±0,05 % (Δ)	±0,05 % (Δ)
	$1 \leq K_U < 50$	±5,0 % (δ)	±5,0 % (δ)
9 Коэффициент m-й интергармонической составляющей фазного напряжения переменного тока $K_{UAisg(m)}, K_{UBisg(m)}, K_{UCisg(m)}$, (для m от 0 до 49), %	$0 \leq K_U < 1$	±0,05 % (Δ)	±0,05 % (Δ)
	$1 \leq K_U < 50$	±5,0 % (δ)	±5,0 % (δ)
10 Кратковременная и длительная доза фликера P_{SI}, P_{LI} , отн.ед.	от 0,2 до 10,0	±5 % (δ)	±5 % (δ)
11 Длительность провала напряжения переменного тока $\Delta t_{\text{пров}}$, с	от $1T^{1, 2)}$	± $1T^{2)} (\Delta)$	± $1T^{2)} (\Delta)$
12 Глубина провала напряжения переменного тока $\delta U_{\text{пров}}$, %	от 0 до 100 ¹⁾	±0,2 % (Δ)	±0,2 % (Δ)
13 Остаточное напряжение при провале напряжения переменного тока U_{prov} , В	от 0 до $U_{\text{ном}}^{1)}$	±0,2 % (γ)	±0,2 % (γ)
14 Длительность прерывания напряжения переменного тока $\Delta t_{\text{преп}}$, с	от $1T^{2, 3)}$	± $1T^{2)} (\Delta)$	± $1T^{2)} (\Delta)$
15 Глубина прерывания напряжения переменного тока $\delta U_{\text{преп}}$, %	от 0 до 100 ³⁾	±0,2 % (Δ)	±0,2 % (Δ)
16 Остаточное напряжение при прерывании напряжения переменного тока $U_{\text{преп}}$, В	от 0 до $0,1 \cdot U_{\text{ном}}^{3)}$	±0,2 % (γ)	±0,2 % (γ)
17 Длительность временного перенапряжения Δt_{nep} , с	от $1T^{2)}$	± $1T^{2)} (\Delta)$	± $1T^{2)} (\Delta)$
18 Коэффициент временного перенапряжения K_{nep}	от 1 до 2	±0,002 (Δ)	-
	от 1 до 1,3	-	±0,002 (Δ)
19 Максимальное напряжение переменного тока при перенапряжении U_{nep} , В	от $U_{\text{ном}}$ до $2 \cdot U_{\text{ном}}$	±0,2 % (γ)	-
	от $U_{\text{ном}}$ до $1,3 \cdot U_{\text{ном}}$	-	±0,2 % (γ)
Примечания			
¹⁾ при условии наличия напряжения от 0,7 $U_{\text{номф}}$ до 1,3 $U_{\text{номф}}$ хотя бы на одной цепи напряжения, либо допустимого напряжения на основной или резервной цепи питания;			
²⁾ символом Т обозначена продолжительность одного периода основной гармоники напряжения переменного тока;			
³⁾ при условии наличия допустимого напряжения на основной или резервной цепи питания.			

Таблица 40 – Диапазоны изменения влияющих величин при измерении ПКЭ

Влияющая величина	Диапазон изменения
1 Частота напряжения переменного тока, Гц	от 42,5 до 57,5
2 Напряжение переменного тока, В *	от $0,1 \cdot U_{ном}$ до $U_{макс}$
3 Кратковременная доза фликера, %	от 0 до 20
4 Несимметрия напряжения: коэффициенты несимметрии напряжения по обратной и нулевой последовательностям, %	от 0 до 20
5 Гармоники напряжения переменного тока	удвоенные значения, установленные в ГОСТ Р 51317.2.4-2000 для класса 3 электромагнитной обстановки (в части коэффициента искажения синусоидальности кривой напряжения)
6 Интергармоники напряжения переменного тока	удвоенные значения, установленные в ГОСТ Р 51317.2.4-2000 для класса 3 электромагнитной обстановки
7 Микросекундные импульсные помехи	пиковое значение 6 кВ
8 Наносекундные импульсные помехи	пиковое значение 4 кВ

Примечание - * - При питании только от измерительных цепей нижняя граница диапазона составляет $0,7 \cdot U_{ном}$

Погрешности измерений ПКЭ модификации КПР-01М-Б при изменении влияющих величин в диапазонах, приведенных в таблице 40, находятся в пределах, установленных в таблице 39.

Пределы допускаемых дополнительных погрешностей измерений ПКЭ модификации КПР-01М-Б при изменении температуры в диапазоне рабочих температур составляют не более половины предела допускаемых основных погрешностей на каждые 10 °C.

Таблица 41 – Общие метрологические и технические характеристики модификации КПР-01М-Р

Наименование характеристики	Значение
Номинальное фазное напряжение переменного тока $U_{ном}$, В	230
Максимальное значение напряжения переменного тока $U_{макс}$, В	300
Номинальный ток $I_{ном}$, А	250, 500
Максимальное значение силы переменного тока при измерении среднеквадратического значения силы переменного тока, А	1500 при $I_{ном}=250$; 2500 при $I_{ном}=500$;
Максимальное значение силы переменного тока при измерении энергии, А	1500 при $I_{ном}=250$; 2500 при $I_{ном}=500$;
Класс точности при измерении активной электрической энергии	1
Класс точности при измерении реактивной электрической энергии	1
Время начального запуска до начала учета электроэнергии, с	5
Постоянная перевода импульсов в энергию, имп/кВт·ч (имп/квар·ч)	50(50)
Габаритные размеры (длина×высота×ширина), мм, не более	90×75×105
Масса, кг, не более	1,0
Средняя наработка на отказ с учетом технического обслуживания, ч	100 000
Среднее время восстановления работоспособности, ч	1
Средний срок службы, лет	30
Нормальные условия измерений:	
- температура окружающей среды, °C	от 15 до +25
- относительная влажность воздуха, %	от 30 до 80
Рабочие условия измерений:	
- температура окружающей среды, °C	от -40 до +55
- относительная влажность (при +35 °C и ниже, без конденсации влаги), %, не более	95

Таблица 42 – Основные погрешности модификации КПР-01М-Р

Наименование характеристики	Диапазон измерений	Пределы допускаемой погрешности	Примечание
1 Частота основной гармоники напряжения переменного тока f , Гц	от 42,5 до 57,5	$\pm 0,01$ Гц (Δ)	-
2 Среднеквадратическое значение фазного напряжения переменного тока, U_A , U_B , U_C , В	$0,1 \cdot U_{\text{ном}} \leq U < 0,7 \cdot U_{\text{ном}}$ ¹⁾	$\pm 0,5\%$ (δ)	-
	$0,7 \cdot U_{\text{ном}} \leq U < U_{\text{макс}}$	$\pm 0,2\%$ (δ)	
3 Среднеквадратическое значение линейного напряжения переменного тока, U_{AB} , U_{BC} , U_{CA} , В	$0,17 \cdot U_{\text{ном}} \leq U < 1,21 \cdot U_{\text{ном}}$	$\pm 0,5\%$ (δ)	-
	$1,21 \cdot U_{\text{ном}} \leq U < 1,73 \cdot U_{\text{макс}}$	$\pm 0,2\%$ (δ)	
4 Среднеквадратическое значение напряжения переменного тока основной частоты $U_{A(I)}$, $U_{B(I)}$, $U_{C(I)}$, прямой, обратной и нулевой последовательности U_1 , U_2 , U_0 , В	от $0,1 \cdot U_{\text{ном}}$ до $U_{\text{макс}}$	$\pm 0,1\%$ (γ) ²⁾	-
5 Среднеквадратическое значение фазной силы переменного тока (с учетом гармоник) I_A , I_B , I_C , среднеквадратическое значение фазной силы переменного тока основной частоты $I_{A(I)}$, $I_{B(I)}$, $I_{C(I)}$, среднеквадратическое значение силы переменного тока прямой, обратной и нулевой последовательности I_1 , I_2 , I_0 , А	$0,01 \cdot I_{\text{ном}} \leq I < 0,5 \cdot I_{\text{ном}}$	$\pm [1,0 + 0,5 \left(\frac{I_{\text{ном}}}{I} - 1 \right)]\%$ (δ)	-
	$0,5 \cdot I_{\text{ном}} \leq I < I_{\text{макс}}$	$\pm 1,0\%$ (δ)	
6 Коэффициент несимметрии тока по нулевой и обратной последовательности, K_{0I} , K_{2I} , %	от 0 до 50	$\pm 0,3\%$ (Δ)	$0,5 \cdot I_{\text{ном}} < I < I_{\text{макс}}$
7 Угол фазового сдвига между фазными напряжениями основной частоты $\varphi_{UAB(I)}$, $\varphi_{UBC(I)}$, $\varphi_{UCA(I)}$ °	от -180 до +180	$\pm 0,5^\circ$ (Δ)	$0,1 \cdot U_{\text{ном}} < U < U_{\text{макс}}$
8 Угол фазового сдвига между фазными токами основной частоты $\varphi_{IA(I)}$, $\varphi_{IB(I)}$, $\varphi_{IC(I)}$ °	от -180 до +180	$\pm 1^\circ$ (Δ)	$0,5 \cdot I_{\text{ном}} < I < I_{\text{макс}}$
9 Угол фазового сдвига между фазным напряжением и фазным током основной частоты $\varphi_{UIA(I)}$, $\varphi_{UIB(I)}$, $\varphi_{UIC(I)}$ °	от -180 до +180	$\pm 1^\circ$ (Δ)	$0,5 \cdot I_{\text{ном}} < I < I_{\text{макс}}$
10 Активная электрическая мощность по каждой фазе и трехфазная P_A , P_B , P_C , P , Вт	$0,7 \cdot U_{\text{ном}} < U < U_{\text{макс}}$ $0,2 \cdot I_{\text{ном}} < I < I_{\text{максэн}}$ $0,5 \leq \cos\varphi \leq 1,0$	$\pm 1,0\%$ (δ)	-
	$0,7 \cdot U_{\text{ном}} < U < U_{\text{макс}}$ $0,2 \cdot I_{\text{ном}} < I < I_{\text{максэн}}$ $0,25 \leq \cos\varphi < 0,50$	$\pm 1,5\%$ (δ)	-
11 Реактивная электрическая мощность основной гармоники по каждой фазе и трехфазная по сумме гармоник Q_A , Q_B , Q_C , Q , вар	$0,7 \cdot U_{\text{ном}} < U < U_{\text{макс}}$ $0,2 \cdot I_{\text{ном}} < I < I_{\text{максэн}}$ $0,5 \leq \sin\varphi \leq 1,0$	$\pm 1,0\%$ (δ)	-
	$0,7 \cdot U_{\text{ном}} < U < U_{\text{макс}}$ $0,2 \cdot I_{\text{ном}} < I < I_{\text{максэн}}$ $0,25 \leq \sin\varphi < 0,50$	$\pm 1,5\%$ (δ)	-

Наименование характеристики	Диапазон измерений	Пределы допускаемой погрешности	Примечание
12 Полная электрическая мощность по каждой фазе и трехфазная $S_A, S_B, S_C, S_{\text{B} \cdot \text{A}}$	$0,7 \cdot U_{\text{ном}} < U < U_{\text{макс}}$ $0,2 \cdot I_{\text{ном}} < I < I_{\text{максЭН}}$	$\pm 1,5\% (\delta)$	-
13 Коэффициент мощности фазный и средний $\cos\varphi_A, \cos\varphi_B, \cos\varphi_C, \cos\varphi_{cp}$	от -1,00 до +1,00	$\pm 0,02 (\Delta)$	$0,7 \cdot U_{\text{ном}} < U < U_{\text{макс}}$ $0,1 \cdot I_{\text{ном}} < I < I_{\text{максЭН}}$ $0,25 \leq \cos\varphi \leq 1,00$
Примечания			
¹⁾ при питании только от измерительных цепей нижняя граница диапазона измерений составляет $0,7 \cdot U_{\text{ном}}$;			
²⁾ нормирующее значение равно номинальному значению напряжения переменного тока.			

Пределы допускаемых дополнительных погрешностей измерений параметров напряжения переменного тока, силы переменного тока КПР-01М-Р, приведенных в пунктах 2, 5 таблицы 42, при изменении температуры в диапазоне рабочих температур составляют не более половины предела допускаемой основной погрешности на каждые 10 °C.

Пределы допускаемых дополнительных погрешностей измерений параметров силы переменного тока и электрической мощности модификации КПР-01М-Р, приведенных в пунктах 2, 10 таблицы 42, вызванных произвольным расположением датчиков тока составляют $\pm 3\%$.

Таблица 43 – Метрологические характеристики при измерении электрической энергии модификации КПР-01М-Р

Тип энергии	Диапазон изменения входных параметров		Пределы допускаемой основной относительной погрешности, %	Примечание
	Сила переменного тока, А	Коэффициент мощности		
1 Активная электрическая энергия по каждой фазе и трехфазная $W_{PA}, W_{PB}, W_{PC}, W_P$	$3 \times (\text{от } 0,05 \cdot I_{\text{ном}} \text{ до } 0,1 \cdot I_{\text{ном}})$	± 1	$\pm 1,5$	Пределы допускаемых погрешностей соответствуют классу 1 по ГОСТ 31819.21-2012, при изменении напряжения от $0,7 \cdot U_{\text{ном}}$ до $U_{\text{макс}}$
	$3 \times (\text{от } 0,1 \cdot I_{\text{ном}} \text{ включ. до } I_{\text{максЭН}})$		$\pm 1,0$	
	$3 \times (\text{от } 0,1 \cdot I_{\text{ном}} \text{ до } 0,2 \cdot I_{\text{ном}})$	$\pm 0,5L \text{ и } \pm 0,8C$	$\pm 1,5$	
	$3 \times (\text{от } 0,2 \cdot I_{\text{ном}} \text{ включ. до } I_{\text{максЭН}})$		$\pm 1,0$	
	$1 \times (\text{от } 0,1 \cdot I_{\text{ном}} \text{ до } I_{\text{максЭН}})$	± 1	$\pm 2,0$	
	$1 \times (\text{от } 0,2 \cdot I_{\text{ном}} \text{ до } I_{\text{максЭН}})$	$\pm 0,5L$	$\pm 2,0$	
2 Реактивная электрическая энергия по каждой фазе и трехфазная $W_{QA}, W_{QB}, W_{QC}, W_Q$	$3 \times (\text{от } 0,05 \cdot I_{\text{ном}} \text{ до } 0,1 \cdot I_{\text{ном}})$	± 1	$\pm 1,5$	Пределы допускаемых погрешностей соответствуют классу 1 по ГОСТ 31819.23-2012, при изменении напряжения от $0,7 \cdot U_{\text{ном}}$ до $U_{\text{макс}}$
	$3 \times (\text{от } 0,1 \cdot I_{\text{ном}} \text{ включ. до } I_{\text{максЭН}})$		$\pm 1,0$	
	$3 \times (\text{от } 0,1 \cdot I_{\text{ном}} \text{ до } 0,20 \cdot I_{\text{ном}})$	$\pm 0,5L \text{ и } \pm 0,5C$	$\pm 1,5$	
	$3 \times (\text{от } 0,2 \cdot I_{\text{ном}} \text{ включ. до } I_{\text{максЭН}})$		$\pm 1,0$	
	$3 \times (\text{от } 0,2 \cdot I_{\text{ном}} \text{ до } I_{\text{максЭН}})$	$\pm 0,25L \text{ и } \pm 0,25C$	$\pm 1,5$	
	$1 \times (\text{от } 0,1 \cdot I_{\text{ном}} \text{ до } I_{\text{максЭН}})$		± 1	
	$1 \times (\text{от } 0,2 \cdot I_{\text{ном}} \text{ до } I_{\text{максЭН}})$	$\pm 0,5L \text{ и } \pm 0,5C$	$\pm 1,5$	

Измеренные значения активной (реактивной) фазной электрической мощности при стартовом токе, номинальном напряжении и $\cos\varphi = \pm 1$ ($\sin\varphi = \pm 1$) соответствуют данным, приведенным в таблице 44.

Таблица 44— Допустимые значения электрической мощности при стартовом токе для модификации КПР-01М-Р

Значение стартового тока, А	$I_{ном}$, А	$U_{ном}$, В	Коэффициент мощности	Допустимое значение фазной активной (реактивной) электрической мощности, Вт (вар)
$0,004 \cdot I_{ном}$	250	230	1	не менее +115
	500	230	1	не менее +230
	250	230	-1	не более -115
	500	230	-1	не более -230

После приложения напряжения переменного тока, равного $1,15 \cdot U_{ном}$ и при отсутствии тока в цепях тока абсолютные значения измеренных фазных электрических мощностей равны нулю (отсутствие самохода).

Таблица 45 – Пределы допускаемых дополнительных погрешностей измерений активной и реактивной электрической энергии модификации КПР-01М-Р

Влияющая величина	Диапазон изменения			Пределы допускаемой дополнительной относительной погрешности измерений	
	влияющей величины	силы переменного тока	коэффициента мощности	активной электрической энергии	реактивной электрической энергии
1 Температура окружающей среды, °C	от -40 до +55	от $0,1 \cdot I_{ном}$ до $I_{максЭН}$	1	$\pm 0,05\%/{ }^{\circ}\text{C}$	$\pm 0,05\%/{ }^{\circ}\text{C}$
		от $0,2 \cdot I_{ном}$ до $I_{максЭН}$	0,5L	$\pm 0,07\%/{ }^{\circ}\text{C}$	$\pm 0,07\%/{ }^{\circ}\text{C}$
2 Частота сети, Гц	от 49 до 51	от $0,05 \cdot I_{ном}$ до $I_{максЭН}$	1	$\pm 0,5\%$	$\pm 1,5\%$
		от $0,1 \cdot I_{ном}$ до $I_{максЭН}$	0,5L	$\pm 0,7\%$	$\pm 1,5\%$
3 Обратный порядок следования фаз	—	$0,1 \cdot I_{ном}$	1	$\pm 1,5\%$	—
4 Несимметрия напряжения	—	$I_{ном}$	1	$\pm 2,0\%$	—
5 Напряжение цепи питания, В	в пределах допустимого диапазона	$0,05 \cdot I_{ном}$	1	$\pm 0,5\%$	—
6 Гармоники в цепях тока и напряжения	пятая гармоника в сигнале напряжения переменного тока значением $0,1 \cdot U_{ном}$ и в сигнале силы переменного тока значением $0,4 \cdot I_{(1)}$.	$0,5 \cdot I_{макс}$	1	$\pm 0,8\%$	—
7 Субгармоники в цепи переменного тока	форма сигнала с субгармониками в соответствии с ГОСТ 31819.22-2012	$0,5 \cdot I_{ном}$	1	$\pm 3,0\%$	

Влияющая величина	Диапазон изменения			Пределы допускаемой дополнительной относительной погрешности измерений	
	влияющей величины	силы переменного тока	коэффициента мощности	активной электрической энергии	реактивной электрической энергии
8 Постоянная составляющая и четные гармоники в цепи переменного тока	форма сигнала в соответствии с ГОСТ 31819.21-2012		1	±3,0 %	—
9 Нечетные гармоники в цепи переменного тока	форма сигнала в соответствии с ГОСТ 31819.21-2012	$0,5 \cdot I_{\text{ном}}$	1	±3,0 %	—
10 Постоянная магнитная индукция внешнего происхождения	значение магнито-движущей силы 1000 ампер-витков	$I_{\text{ном}}$	1	±2,0 %	±2,0 %
11 Переменная магнитная индукция внешнего происхождения, мТл	0,5	$I_{\text{ном}}$	1	±2,0 %	±2,0 %
12 Радиочастотные электромагнитные поля, В/м	10	$I_{\text{ном}}$	1	±2,0 %	±2,0 %
13 Произвольное крепление датчика тока на проводе	—	$I_{\text{ном}}$	1	±3,0 %	±3,0 %
14 Функционирование вспомогательных частей	—	$0,05 \cdot I_{\text{ном}}$	1	±0,5 %	±0,5 %
15 Кондуктивные помехи, наводимые радиочастотными полями	полоса частот - от 150 кГц до 80 МГц; уровень напряжения - 10 В	$I_{\text{ном}}$	1	±2,0 %	±2,0 %
16 Наносекундные импульсные помехи		$I_{\text{ном}}$	1	±4,0 %	±4,0 %
17 Колебательные затухающие помехи	—	$I_{\text{ном}}$	1	±2,0 %	±2,0 %

Изменение погрешности измерений активной и реактивной электрической энергии модификации КПР-01М-Р после влияния кратковременных перегрузок током не превышает значений, указанных в таблице 46.

Таблица 46 – Кратковременные перегрузки входным током модификации КПР-01М-Р

Сила переменного тока, протекающего в цепях тока, А	Длительность воздействия, с	Предел изменения погрешности, %	
		активной электрической энергии	реактивной электрической энергии
$30 \cdot I_{\text{максен}}$	0,01	±1,5 %	±1,5 %

Таблица 47 – Метрологические характеристики встроенных часов модификации КПР-01М-Р

Наименование характеристики	Значение
Пределы допускаемой абсолютной погрешности суточного хода встроенных часов при отсутствии синхронизации от внешнего источника, с (в сутки в диапазоне рабочих температур)	± 1
Пределы допускаемой абсолютной погрешности установки времени встроенных часов при синхронизации от внешнего источника, мс	± 1

Таблица 48 – Метрологические характеристики при измерении ПКЭ модификации КПР-01М-Р

Наименование характеристики	Диапазон измерений	Пределы допускаемой основной погрешности: Δ -абсолютной, δ - относительной γ - приведенной
1 Частота напряжения переменного тока f , Гц	от 42,5 до 57,5	$\pm 0,01$ Гц (Δ)
2 Отклонение частоты переменного тока Δf , Гц	$\pm 7,5$	$\pm 0,01$ Гц (Δ)
3 Отрицательное отклонение напряжения переменного тока $\delta U_{(-)A}$, $\delta U_{(-)B}$, $\delta U_{(-)C}$, %	от 0 до 90 ¹⁾	$\pm 0,1$ % (Δ)
4 Положительное отклонение напряжения переменного тока $\delta U_{(+)}A$, $\delta U_{(+)}B$, $\delta U_{(+)}C$, %	от 0 до 30	$\pm 0,1$ % (Δ)
5 Установившееся отклонение напряжения переменного тока δU_{yA} , δU_{yB} , δU_{yC} , %	± 30	$\pm 0,2$ % (Δ)
6 Коэффициент несимметрии напряжений по нулевой и обратной последовательности, K_{0U} , K_{2U} , %	от 0 до 20	$\pm 0,15$ % (Δ)
7 Коэффициент n-й гармонической составляющей фазного напряжения переменного тока $K_{UA(n)}$, $K_{UB(n)}$, $K_{UC(n)}$ (для n от 2 до 50), %	$0 \leq K_U < 1$	$\pm 0,05$ % (Δ)
	$1 \leq K_U < 50$	$\pm 5,0$ % (δ)
8 Коэффициент искажения синусоидальности кривой напряжения переменного тока K_{UA} , K_{UB} , K_{UC} , %	$0 \leq K_U < 1$	$\pm 0,05$ % (Δ)
	$1 \leq K_U < 50$	$\pm 5,0$ % (δ)
9 Коэффициент m-й интергармонической составляющей фазного напряжения переменного тока $K_{UAisg(m)}$, $K_{UBisg(m)}$, $K_{UCisg(m)}$, (для m от 0 до 49), %	от 0,05 до 1,00	$\pm 0,05$ % (Δ)
	от 1 до 50	$\pm 5,0$ % (δ)
10 Кратковременная и длительная доза фликера P_{SI} , P_{LI} , отн.ед.	от 0,2 до 10,0	$\pm 5\%$ (δ)
11 Длительность провала напряжения переменного тока Δt_{prov} , с	от $1T^{1), 2)}$	$\pm 1T^{2)}$ (Δ)
12 Глубина провала напряжения переменного тока δU_{prov} , %	от 0 до 100 ¹⁾	$\pm 0,2$ % (Δ)
13 Остаточное напряжение переменного тока при провале напряжения U_{prov} , В	от 0 до $U_{nom}^{1)}$	$\pm 0,2$ % (γ)
14 Длительность прерывания напряжения переменного тока Δt_{prep} , с	от $1T^{2), 3)}$	$\pm 1T^{2)}$ (Δ)
15 Глубина прерывания напряжения переменного тока δU_{prep} , %	от 0 до 100 ³⁾	$\pm 0,2$ % (Δ)
16 Остаточное напряжение при прерывании напряжения переменного тока U_{prep} , В	от 0 до $0,1 \cdot U_{nom}^{3)}$	$\pm 0,2$ % (γ)
17 Длительность временного перенапряжения Δt_{nep} , с	от $1T^2)$	$\pm 1T^2)$ (Δ)

Наименование характеристики	Диапазон измерений	Пределы допускаемой основной погрешности: Δ-абсолютной, δ - относительной γ - приведенной
18 Коэффициент временного перенапряжения K_{nep}	от 1 до 1,3	$\pm 0,002 (\Delta)$
19 Максимальное напряжение при перенапряжении U_{nep} , В	от U_{nom} до $1,3 \cdot U_{nom}$	$\pm 0,2 \% (\gamma)$
Примечания		
1) при условии наличия напряжения от $0,7 \cdot U_{nom}$ до $1,3 \cdot U_{nom}$ хотя бы на одной цепи напряжения, либо допустимого напряжения на основной или резервной цепи питания;		
2) символом Т обозначена продолжительность одного периода основной гармоники напряжения переменного тока;		
3) при условии наличия допустимого напряжения на основной или резервной цепи питания.		

Таблица 49 – Диапазоны изменения влияющих величин при измерении ПКЭ модификации КПР-01М-Р

Влияющая величина	Диапазон изменения
1 Частота напряжения переменного тока, Гц	от 42,5 до 57,5
2 Напряжение переменного тока, В *	от $0,1 \cdot U_{nom}$ до U_{max}
3 Кратковременная доза фликера, %	от 0 до 20
4 Несимметрия напряжения: коэффициенты несимметрии напряжения по обратной и нулевой последовательностям, %	от 0 до 20
5 Гармоники напряжения переменного тока	удвоенные значения, установленные в ГОСТ Р 51317.2.4-2000 для класса 3 электромагнитной обстановки (в части коэффициента искажения синусоидальности кривой напряжения)
6 Интергармоники напряжения переменного тока	удвоенные значения, установленные в ГОСТ Р 51317.2.4-2000 для класса 3 электромагнитной обстановки
7 Микросекундные импульсные помехи	пиковое значение 6 кВ
8 Наносекундные импульсные помехи	пиковое значение 4 кВ

Примечание - * - При питании только от измерительных цепей нижняя граница диапазона составляет $0,7 \cdot U_{nom}$

Погрешности измерений ПКЭ при изменении влияющих величин в диапазонах, приведенных в таблице 48, находятся в пределах, установленных в таблице 49.

Пределы допускаемых дополнительных погрешностей измерений ПКЭ модификации КПР-01М-Р при изменении температуры в диапазоне рабочих температур составляют не более половины предела допускаемых основных погрешностей на каждые 10°C .

Знак утверждения типа

наносится на шильд устройства методом термопечати или трафаретной печати, на титульный лист формулляра и руководства по эксплуатации типографским способом.

Комплектность средства измерений

Таблица 50 – Комплектность модификации КПР-01М

Наименование	Обозначение	Количество	Примечание
Устройство измерительное многофункциональное МИР КПР-01М	M13.013.00.000	1 шт.	-
Устройство измерительное многофункциональное МИР КПР-01М. Формуляр	M13.013.00.000 ФО	1 экз.	
Устройство измерительное многофункциональное МИР КПР-01М. Руководство по эксплуатации	M13.013.00.000 РЭ	1 экз.	-
Устройства измерительные многофункциональные МИР КПР-01М. Методика поверки	ИЦРМ-МП-081-2018	1 экз.	-
Программа КОНФИГУРАТОР КПР-01	M11.00321-02	1 шт.	На компакт диске, или доступно для скачивания на сайте http://www.mir-omsk.ru

Таблица 51 – Комплектность модификации КПР-01М-А

Наименование	Обозначение	Количество	Примечание
Устройство измерительное многофункциональное МИР КПР-01М	M14.022.00.000	1 шт.	-
Устройство измерительное многофункциональное МИР КПР-01М. Формуляр	M14.022.00.000 ФО	1 экз.	
Устройство измерительное многофункциональное МИР КПР-01М. Руководство по эксплуатации	M14.022.00.000 РЭ	1 экз.	-
Устройства измерительные многофункциональные МИР КПР-01М. Методика поверки	ИЦРМ-МП-081-2018	1 экз.	-
Программа КОНФИГУРАТОР КПР-01	M11.00321-02	1 шт.	На компакт диске, или доступно для скачивания на сайте http://www.mir-omsk.ru

Таблица 52 – Комплектность модификации КПР-01М-Б

Наименование	Обозначение	Количество	Примечание
Устройство измерительное многофункциональное МИР КПР-01М	M15.020.00.000	1 шт.	-
Устройство измерительное многофункциональное МИР КПР-01М. Формуляр	M15.020.00.000 ФО	1 экз.	
Устройство измерительное многофункциональное МИР КПР-01М. Руководство по эксплуатации	M15.020.00.000 РЭ	1 экз.	-
Устройства измерительные многофункциональные МИР КПР-01М. Методика поверки	ИЦРМ-МП-081-2018	1 экз.	-
Программа КОНФИГУРАТОР КПР-01	M11.00321-02	1 шт.	На компакт диске, или доступно для скачивания на сайте http://www.mir-omsk.ru

Таблица 53 – Комплектность модификации КПР-01М-Р

Наименование	Обозначение	Количество	Примечание
Устройство измерительное многофункциональное МИР КПР-01М	M14.022.00.000	1 шт.	-
Комплект монтажных частей	M14.022.08.000	1 компл	
Устройство измерительное многофункциональное МИР КПР-01М. Формуляр	M14.022.00.000-090 ФО	1 экз.	
Устройство измерительное многофункциональное МИР КПР-01М. Руководство по эксплуатации	M14.022.00.000-090 РЭ	1 экз.	-
Устройства измерительные многофункциональные МИР КПР-01М. Методика поверки	ИЦРМ-МП-081-2018	1 экз.	-
Программа КОНФИГУРАТОР КПР-01	M11.00321-02	1 шт.	На компакт диске, или доступно для скачивания на сайте http://www.mir-omsk.ru

Проверка

осуществляется по документу ИЦРМ-МП-081-2018 «Устройства измерительные многофункциональные МИР КПР-01М. Методика поверки», утвержденному ООО «ИЦРМ» 19.04.2018 г.

Основные средства поверки:

- установка многофункциональная измерительная СМС 256 plus (регистрационный номер в Федеральном информационном фонде 26170-09);
- частотомер электронно-счетный ЧЗ-85/3 (регистрационный номер в Федеральном информационном фонде 32359-06);
- амперметр цифровой СА3010/3 (регистрационный номер в Федеральном информационном фонде 27219-04);
- трансформатор тока УТТ-5М (регистрационный номер в Федеральном информационном фонде 161-49).

Допускается применение аналогичных средств поверки, обеспечивающих определение метрологических характеристик поверяемых СИ с требуемой точностью.

Знак поверки наносится на формуляр в виде наклейки со штрих-кодом и (или) оттиска клейма поверителя, и на корпус устройств, как показано на рисунках 5 – 7.

Сведения о методиках (методах) измерений приведены в эксплуатационном документе.

Нормативные и технические документы, устанавливающие требования к устройствам измерительным многофункциональным МИР КПР-01М

ГОСТ 22261-94 Средства измерений электрических и магнитных величин. Общие технические условия

ГОСТ 31819.21-2012 Аппаратура для измерения электрической энергии переменного тока. Частные требования. Статические счетчики активной энергии классов точности 1 и 2.

ГОСТ 31819.22-2012 Аппаратура для измерения электрической энергии переменного тока. Частные требования. Статические счетчики активной энергии классов точности 0,2s и 0,5s.

ГОСТ 31819.23-2012 Аппаратура для измерения электрической энергии переменного тока. Частные требования. Часть 23. Статические счетчики реактивной энергии.

ГОСТ 30804.4.30-2013 (IEC 61000-4-30:2008) Электрическая энергия. Совместимость технических средств электромагнитная. Методы измерений показателей качества

ГОСТ 32144-2013 Электрическая энергия. Совместимость технических средств электромагнитная. Нормы качества электрической энергии в системах электроснабжения общего назначения.

ГОСТ Р 51317.6.5-2006 Совместимость технических средств электромагнитная. Устойчивость к электромагнитным помехам технических средств, применяемых на электростанциях и подстанциях. Требования и методы испытаний

ГОСТ 12.2.091-2012 Безопасность электрического оборудования для измерения, управления и лабораторного применения. Часть 1. Общие требования

ТУ 4222-005-51648151-2013 Устройства измерительные многофункциональные МИР КПР-01М. Технические условия

Изготовитель

Общество с ограниченной ответственностью «Научно-производственное объединение «МИР» (ООО «НПО «МИР»)

ИНН 5528012370

Адрес: 644105, г. Омск, ул. Успешная, 51

Телефоны: +7 (3812) 61-90-82, 61-99-74

Факс: +7 (3812) 61-81-76

E-mail: help@mir-omsk.ru

Web-сайт: <http://www.mir-omsk.ru>

Заявитель

Общество с ограниченной ответственностью «Спецэнергопроект»
(ООО «Спецэнергопроект»)
ИИН 7722844084
Адрес: 111024, г. Москва, ул. Авиамоторная, 50, к.2

Испытательный центр

Общество с ограниченной ответственностью «Испытательный центр разработок в области метрологии»

Адрес: 117546, г. Москва, Харьковский проезд, д.2, этаж 2, пом. I, ком. 35, 36

Телефон: +7 (495) 278-02-48

E-mail: info@ic-rm.ru

Аттестат аккредитации ООО «ИЦРМ» по проведению испытаний средств измерений в целях утверждения типа № RA.RU.311390 от 18.11.2015 г.

Заместитель

Руководителя Федерального агентства по техническому регулированию и метрологии

А.В. Кулешов

М.И. АГЕНОВА № 09 2018 г.



ПРОШНУРОВАНО,
ПРОНУМЕРОВАНО
И СКРЕПЛЕНО ПЕЧАТЬЮ

ЧГ/сроки действия/листов(а)

